

T. C.  
ANADOLU ÜNİVERSİTESİ  
FEN BİLİMLERİ ENSTİTÜSÜ

**DOLGULU DESTİLASYON KOLONUNUN  
PULSE VE İMPULSE ETKİSİNDE DİNAMIĞI**

**YÜKSEK LİSANS TEZİ**

**H. Canan Başkurt**

**MÜHENDİSLİK - MİMARLIK FAKÜLTESİ  
KİMYA MÜHENDİSLİĞİ BÖLÜMÜ  
ESKİŞEHİR, 1985**

## TEŐEKKÜR

Çalıőmalarımnda beni yönlendiren ve yardımlarını esirgemeyen Doç.Dr. Mustafa Alpbaz'a,büyük yardımlarını gördüğüm Yard.Doç.Dr. Mustafa Kara'ya, gerekli kolaylığı sađlayan G.Ü. Müh-Mim.Fak. Kimya Müh.Bölüm Başkanı Yard. Doç.Dr. Ahmet Biçer'e, bana büyük destek olan deđerli arkadaşım Yavuz Cabbar'a ve aileme teşekkürü bir borç bilirim.

## ÖZET

Bu arařtırmada dolęulu destilasyon kolonunun besleme deriřimine verilen pulse ve impulse etkisinde ıkıř deęiřkenlerinin zamana gre deęiřimleri sayısal bilgisayar- da zlerek incelenmiřtir. Elde edilen veriler yardımıyla sistemin ıkıř deęiřkenleri eřit integral aralıklarına b- lnerek sıklık bazına gre iletim fonksiyonları ve ilgili Bode diyagramları Fourier dnřmlerinin integrallerinin alınması ile hesaplanmıřtır. Integral iřlemleri doęrusal I ve trapezoidal yaklařımlar ile yapılmıřtır. Bu hesaplamalar sonucunda st ve alt rnlerinin Bode diyagramları belli bir frekanstan sonra kararsızlık gstermiřlerdir.

## ABSTRACT

In this research, when the packed distillation column were under the effect of the pulse and impulse changes given to the feed concentration, the changes of the output variables with time were calculated. With the aid of the data obtained from this calculation, the output variables were divided into equal values of integral step increment. According to the frequency base the transfer functions and related Bode diagrams were calculated. With the integration of Fourier transform. The integrations were done with two different methods which were Linear I and Trapezoidal approximations. In the result of this calculations the product of the top and bottom sections showed anstability after some frequency.

## İÇİNDEKİLER

	Sayfa
TEŞEKKÜR	i
ÖZET	ii
ABSTRACT	iii
İÇİNDEKİLER	iv
SEMBOLLER	vi
BÖLÜM 1 : GİRİŞ	1
BÖLÜM 2 : LİTERATÜR ARAŞTIRMASI	5
2.1. Dolgulu Destilasyon Kolonlarının Dinamiği Üzerinde Yapılan Çalışmalar	5
2.2. Pulse-İmpulse Etkisindeki Sistemlerin Dinamiği ile İlgili Çalışmalar	6
BÖLÜM 3 : MATEMATİK MODELLEME	9
BÖLÜM 4 : MATEMATİK MODELİN ÇÖZÜM YÖNTEMLERİ	14
4.1. Dolgulu Destilasyon Kolonunun Matematik Modelinin Sayısal Bilgisayar ile Çözümü	14
4.1.1. Yatışkın-Hal İçin Çözüm	14
4.1.2. Yatışkın Olmayan-Hal İçin Çözüm	15
4.2. Fourier Dönüşümlerinin Sayısal Bilgisayar ile Çözümleri	16
4.2.1. Doğrusal Yaklaşım	18
4.2.2. Trapezoidal Yaklaşım	20
BÖLÜM 5 : SAYISAL BİLGİSAYAR ÇÖZÜMLERİNDEN ELDE EDİLEN KURAMSAL SONUÇLAR	22
5.1. Sayısal Bilgisayar Çözümlerinde Kullanılan Parametrelerin Değerleri ve Kolon Sayıları	22

5.1.2.	Yatışkın-Hal Sonuçları	23
5.1.3.	Yatışkın Olmayan-Hal Sonuçları	23
5.1.4.	Pulse	24
5.1.5.	İmpulse-Etkisi	24
5.1.6.	Rode Diyagramları	24
BÖLÜM 6 :	SONUÇLAR VE İLERİ ÇALIŞMALAR İÇİN ÖNERİLER	45
EKLER		
1.	YATIŞKIN VE YATIŞKIN OLMAYAN-HAL DENKLEMLERİNİN SAYISAL BİLGİSAYAR İLE ÇÖZÜMÜ	47
2.	DOĞRUSAL YAKLAŞIM YÖNTEMİNİN SAYISAL BİLGİSAYAR ÇÖZÜMÜ FORTRAN PROGRAMI	62
3.	TRAPEZOİDAL YAKLAŞIM YÖNTEMİNİN SAYISAL BİLGİSAYAR ÇÖZÜMÜ FORTRAN PROGRAMI	64
REFERANSLAR		70

## SEMBOLLER

a	Islanmış yüzey $\left(\frac{\text{cm}^2}{\text{cm}^3}\right)$
A	Yüzey $(\text{cm}^2)$
B	Kazandan çıkan sıvı akış hızı $\left(\frac{\text{mol}}{\text{dak}}\right)$ ; $\left(\frac{\text{EMY}}{\text{dak}}\right)$
E	Kademe etkinliği
F	Besleme akış hızı $\left(\frac{\text{mol}}{\text{dak}}\right)$ ; $\left(\frac{\text{EMY}}{\text{dak}}\right)$
G	Genlik oranı
G(iw)	Sıklık temeline göre iletim fonksiyonu
$h_L$	Kolonda her kademe için sıvı birikim miktarı (mol); $(\text{EMM})$ ; $\left(\frac{\text{g}}{\text{cm}^3}\right)$
$H_L$	Kazan sıvı miktarı (mol); (EMM)
$K_Y$	Kütle iletim katsayısı $\left(\frac{\text{g}}{\text{cm}^2 \text{ dak}}\right)$ ; $\left(\frac{\text{mol}}{\text{cm}^2 \text{ dak}}\right)$ ; $\left(\frac{\text{EMM}}{\text{cm}^2 \text{ dak}}\right)$
L	Sıvı akış hızı $\left(\frac{\text{mol}}{\text{dak}}\right)$ ; $\left(\frac{\text{EMY}}{\text{dak}}\right)$
n	Kademe sayısı
s	Laplace operatörü
S	Yüzey $(\text{cm}^2)$
T	Sıcaklık ( $^{\circ}\text{C}$ )
$T_Q$	Giriş pulse değişiminin kalma süresi (dak)
$T_X$	Çıkış pulse değişiminin kalma süresi (dak)
V	Gaz akış hızı $\left(\frac{\text{mol}}{\text{dak}}\right)$ ; $\left(\frac{\text{EMY}}{\text{dak}}\right)$
W	Pulse fonksiyonunun sıklık değeri (radyan)

$\theta_1$	Çıkış değişkeni
$\theta_2$	Giriş değişkeni
$x$	Sıvı fazın derişimi ( $\frac{\text{mol}}{\text{mol}}$ ); (EMY)
$x^0$	Sıvı fazı başlangıç derişimi
$y$	Gaz fazı derişimi ( $\frac{\text{mol}}{\text{mol}}$ ); (EMY)
$y^0$	Gaz fazı başlangıç derişimi
$y^*$	$x$ ile dengede olan buhar derişimi ( $\frac{\text{mol}}{\text{mol}}$ ); (EMY)
$Z$	Kolon uzunluğu (cm)
$\Delta Z$	Kademeler arası uzaklık (cm)
$\rho$	Yoğunluk ( $\frac{\text{g}}{\text{cm}^3}$ )
$\varphi$	Faz gecikimi



## BÖLÜM 1

### GİRİŞ

Ekstraksiyon, absorpsiyon ve destilasyon işlemlerinin yapıldığı dolgulu kolonların dinamik özellikleri kuramsal olarak dağılımlı-parametreli sistemler (Distributed parameter system) olarak tanımlanırlar. Bu tür işlemler zaman ve uzay değişkenlerine bağlı olarak, kısmi türevli differansiyel denklemler ile ifade edilirler.

Yukarıda belirtilen sistemlere karşın, tepsi tipi destilasyon kolonlarının dinamik özelliklerine benzer yapıda olanlara kademeli-parametreli sistemler (Lumped-parameter system) olarak tanımlanırlar. Bu işlemlerde birçok fiziksel özellikler kademeler içinde homojen olarak dağılırlar ve bir adi türevli diferansiyel denklem dizisi ile ifade edilirler.

Literatürde, dağılımlı ve kademeli-parametreli sistemlerin dinamiği ve kontrolü üzerine, kuramsal ve deneysel olarak yapılmış birçok araştırmaya rastlanır {1,2,3}. Bu araştırmalarda, bir sistemin kontrolü için yapılan tasarım hesaplarında, aynı sistemin dinamik bulgularından yararlanılması gerektiği vurgulanmış, ayrıca geri beslemeli kontrol sistemleri için ölçümlerin alındığı yerlerin önemi ve kontrol sistemlerinin etkinliği üzerinde de durulmuştur. Bu tip çalışmalarda, kademeli-parametreli sistemlerin

matematiksel çözüm yöntemleri, dağılımlı-parametrelili sistemlerden daha kolay olduğundan, eşit kademelere bölerek hesaplamalar yapılmıştır.

Dağılımlı-parametrelili sistemlerden, ısı değiştiricileri ile, dolgulu, ekstraksiyon ve absorpsiyon kolonlarının dinamiği ve kontroluna ait literatürde fazla miktarda çalışma olmasına karşın, dolgulu destilasyon kolonlarının dinamiği üzerinde çalışmalara az rastlanmıştır.

Bu araştırmada dolgulu destilasyon kolonunun dinamik özellikleri besleme derişimine pulse ve impulse etkisi verilmesi ile incelenmiştir. Bu amaçla su-formik asit destilasyonu seçilmiştir. Bu çalışmada Alphaz'ın [1] dolgulu destilasyon kolonu için verdiği dağılımlı-parametrelili sistem modelinin Taylor açılımı yardımıyla elde edilen kademeli-parametrelili sistem modeli kullanılmıştır. Kullanılan kademeli-parametrelili model kolonun 20 kademeye bölünmesi ve bir kazan kademesinin eklenmesi ile 42 adet eş zamanlı adi türevli differansiyel denklem içermektedir. Bu modelde gaz birikim miktarı kolon içinde sıfır alınmış ve diferansiyel denklem sayısı 21'e düşürülmüştür.

Su ve formik asidin buharlaşma ısıları eşit olmadığından sıvı ve buhar akış hızları kolon boyunca değişmektedir. Bu ise modele doğrusal olmayan bir özellik katmaktadır. Buna engel olmak için hesaplamalar eşlenik mol yüzdesi (Fictitious mol fraction) cinsinden yapılmıştır. Bu

hesaplama yöntemi, kolon içinde sıvı birikim miktarı ile sıvı ve gaz akış hızlarının kademeler arasında ve dinamik süre içinde sabit kaldığı yaklaşımını modele getirmiştir.

Yapılan kuramsal çalışmada yukarıda belirtilen modelin çözümü için bilgisayar çözüm yöntemi önerilmiştir. Çözüm için gerekli olan su-formik asit denge eğrisi, POLREG (Polynomial Regression) paket programı yardımı ile bir denklem olarak elde edilmiştir. Model çözümleri için önce yatışkın-hal denklemlerinden, Newton-Ralphson dene-bul yöntemi ile  $K_{yAS}$  çarpımı ve başlangıç anındaki kademelere giriş derişimleri hesaplanmıştır. Bu bulguların yardımı ile yatışkın olmayan-hal denklemleri Runge-Kutta yöntemi ile sayısal bilgisayarda çözülmüştür. Üst ve kazan ürünlerinin derişimlerinin zamana göre derişimleri kuramsal olarak hesap edilmiştir.

Kolon yatışkın-hal'de çalışırken, besleme özeltisinin formik asit derişiminde yapılan pulse ve impulse derişimlerinin kolonun dinamik özelliklerine olan etkisi incelenmiştir. Kolon ilk yatışkın-hale gelirken üst ve kazan ürünleri derişimlerinin zamana göre derişimleri kuramsal olarak hesaplanmıştır.

Bu araştırmada ayrıca dolgulu destilasyon kolonunun giriş besleme derişimine verilen pulse ve impulse etkilerinde sistemin çıkış derişkenlerinin zamana göre derişim-

lerinden elde edilen veriler yardımıyla ilgili Bode diyagramlarının kuramsal hesaplamaları yapılmıştır. Bu hesaplamalar için Fourier dönüşümlerinin integral işlemi için Doğrusal-I { 4 } ve Trapezoidal { 5 } yaklaşım yöntemi kullanılmıştır. Önce sistemin besleme derişimine pulse ve impulse deęişimi verilmiş üst ve alt ürünlerinin zamana göre deęişimleri eşit deęerlerde integral adım aralıklarına bölünerek çıkış deęişkenlerinin bu adımlardaki noktaları belirlenmiştir. Sonra bu noktalardan yararlanılarak Fourier dönüşümlerinin integral işlemleri yukarıda verilen iki yöntemle yapılmıştır. Bilgisayar hesaplama sonuçlarından faz gecikimi,  $\varphi$ , ve genlik oranı,  $|G|$ , bulunarak Bode diyagramları çizilmiştir.

## BÖLÜM 2

### LİTERATÜR ARAŞTIRMASI

#### 2.1. Dolgu Destilasyon Kolonlarının Dinamiği Üzerinde Yapılan Çalışmalar

Heinke ve Wagner {6}, dolgu destilasyon kolonlarının matematik modellenmesi üzerinde çalışma yapmışlardır. Modellerin çözümünde, değişkenlere ayırma ve seri açılımı yöntemlerini kullanmışlardır. Çözümler parametrelerdeki büyük değişiklikler, için geçerli değildir.

Tommosi ve Rice {3}, dolgu destilasyon kolonun dinamik özelliklerini geri akma oranına verilen kademe değişimi ile incelemişlerdir. Modeli Laplace dönüşümü yöntemi ile çözmüşlerdir. Yapılan çalışma deneysel sonuçlar ile yaklaşım göstermiştir.

Steiner ve Barendreght {6} geri karışım yaklaşımını içeren modelin bilgisayar çözümü ile kolon boyunca derişim profilini bulmuşlardır.

Alpbaz {1}, dolgu destilasyon kolonunun dinamiğini incelemek için kuramsal bir model kurmuş ve deneysel çalışmalar ile modelin geçerliliğini sağlamıştır. Besleme derişimine kademe değişiminin dolgu destilasyon kolonunun dinamiği üzerindeki etkilerini incelemiştir.

## 2.2. Pulse-İmpulse Etkisindeki Sistemlerin Dinamiği ile İlgili Çalışmalar

Sistemlerin dinamiği genel olarak zaman, Laplace ve sıklık temellerine göre yapılır.

Zaman temeline göre analizler, sistemlerin giriş değişkenlerine pulse, impulse, ramp, kademe ve sinüs değişimlerinin çıkış değişkeni üzerindeki etkisini hesaplamak için yapılır.

Sinüs etkisi sistem belirleme tekniklerinden biri olarak bilinir. Pulse test yöntemi ise daha etkili olan bir sistem belirleme tekniğidir. Çıkış değişkenleri yatışkın-halde iken, giriş değişkenlerinden birine  $h$  büyüklüğü ve  $D$  süresinde pulse verildiğinde dinamik hale geçerler ve tekrar yatışkın-hale gelirler. Pulse değişiminin yardımıyla çeşitli sıklıklarda verilen sinüs değişimlerinden elde edilen benzer Bode diyagramları çizilir.

Son yıllarda sistem belirleme çalışmalarında, impulse ve pseudo-random binary sinyalleri de kullanılır. Pulse yükseklikleri  $+h$  ve  $-h$  ile eşit imkanı fakat farklı kalma sürelerine sahip tekrarlanmış seri pulse'lardan meydana gelmektedir.

Dreifke [7] Pulse değişimlerinin bazı matematiksel modeller için iletim fonksiyonlarının dinamik özelliklerine etkilerini incelemiştir. Verilen pulse değişimlerinin yük-



sekliklerini,  $h$ , ve kalma sürelerini değiştirerek çeşitli sistemlere uygulamıştır.

Haugen ve Walsh {8}, dikdörtgen, üçgen ve yarım sinüs şeklindeki pulse değişimleri ve etkileri için kullanılan Fourier dönüşümünün integral işlemini doğrusal yaklaşım yöntemi ile yapmışlardır. Yarım-sinüs şeklindeki pulse değişimleri için integrasyon adım aralığının integrasyon sonucunu etkilediğini ve hata verdiğini göstermişlerdir.

Messa {9}, birinci mertebeden bir sistemin giriş değişkenine verilen impulse değişiminin çıkış değişkenlerine etkisini incelemiştir. Doğrusal ve parabolik yaklaşım yöntemlerinden yararlanarak Fourier dönüşümlerini elde etmiştir. Deneysel veriler ile kuramsal çalışmalarındaki verilerden standart sapmayı hesaplamıştır.

Luyben {4}, sistemlerin giriş değişkenine verilen pulse-impulse etkisinde çıkış değişkenlerinin zamana göre değişimlerinden elde edilen bilgilerle Bode diyagramlarının hesaplanması için doğrusal yaklaşım yöntemi önermiştir.

Watanabe ve Metsubara {5}, Fourier dönüşümlerinin oluşumu için parabolik, doğrusal ve trapezoidal integral yöntemlerini önermişlerdir.

Hiçşaşmaz {10} doğrusal, parabolik ve trapezoidal integral yöntemlerini  $\text{CaCl}_2$ 'un su ile karıştırıldığı karıştırma tankına uygulamıştır.  $\text{CaCl}_2$  deriş-

mine Pulse vererek elde edilen çıkış deęişiminin verilerinden Bode diyagramını hesaplamıştır.

Ünal {11}, beş tam karıştırmalı akım reaktörleri dizisinin besleme akış hızına verilen pulse deęişiminin etkisinde çıkış deęişkenlerinden elde edilen veriler ile Bode diyagramını hesaplamıştır.



## BÖLÜM 3

## MATEMATİK MODELLEME

Bu bölümde yapılan araştırmada kullanılan dolgulu destilasyon kolonunun yatışkın ve yatışkın olmayan-hal denklemleri verilmiştir.

Denklemlerin kullanışlı ve daha basit olabilmesi için bir takım varsayımlar yapılmıştır, {1}.

1. Kütle aktarım olayında etken olan sıvı miktarıdır. Gaz miktarı sıfır alınır.
2. Soğutucu ünitesi için kütle aktarımında, sıvı ve gaz miktarları çok küçük olduğundan sıfır alınır.
3. Destilasyon kolonunda ısı kaybı yoktur.
4. Kolon boyunca  $K_y a S$  çarpımı sabit kabul edilir.
5. Hesaplamalar eşlenik mol yüzdesi cinsinden yapılır.
6. Eşlenik mol ağırlığı yöntemi yardım ile kademeler arası sıvı ve gaz hızları sabit kabul edilir.
7. Kazan kısmı ideal tepsi olarak alınır.
8. Kolon basıncı bir atmosferdir ve sabit olarak kalır.

9. Kolonun yatışkın olmayan-hal süresinde sıvı ve gaz derişimleri, denge-durum değerlerine eşittir.

Yukarıda gösterilen varsayımların yardımı ile aşağıdaki matematiksel model verilebilir;

$$A_{x\rho_x} \frac{\partial x}{\partial t} - \frac{\partial(Lx)}{\partial Z} + K_y aS (y^* - y) = 0 \quad (3.1)$$

Gaz fazı çok uçucu bileşen için yatışkın olmayan-hal kütle dengesi;

$$A_{y\rho_y} \frac{\partial y}{\partial t} - \frac{\partial(vy)}{\partial Z} - K_y aS (y^* - y) = 0 \quad (3.2)$$

Dolgulu kolon yatışkın ve yatışkın olmayan hal için sınır şartları;

Yatışkın-hal;

$$x(0) = x_1^0 ; y(0) = y_1^0$$

Yatışkın olmayan-hal;

$$x(Z,0) = x(Z) ; y(Z,0) = y(Z)$$

$$x(0,t) = x_1 ; y(0,t) = y_1$$

Kazan kademesinde çok uçucu bileşenin yatışkın olmayan-hal kütle dengesi;

$$H_L \frac{dx_{n+1}}{dt} = B(y_{n+1} - x_{n+1}) - L(y_{n+1} - x_n) + F(x_F - y_{n+1}) \quad (3.3)$$

Kazan kademesinin yatışkın olmayan-hal kütle den-  
gesinin başlangıç şartları;

$$x_n(0) = x_n^0 \quad ; \quad y_{n+1}(0) = y_{n+1}^0$$

$$x_{n+1}(0) = x_{n+1}^0$$

$$x_{n+1} = x_B$$

Yukarıda verilen matematiksel modelin (3.1, 3.2) sonlu farklar yöntemi ile kademeli-parametrelili hale dönüştürülebilir. Bu modelde gaz birikim miktarı,  $h_v$ , sıfır alınır.

i. Soğutucu kademesi

$$y_1 = x_D$$

ii. Kolon kademesi

$$h_L \cdot \frac{dx_k}{dk} = Lx_{k-1} - Lx_k - K_y a S (y_k^* - y_k) \Delta Z \quad (3.5)$$

$$h_V \cdot \frac{dy_k}{dt} = Vy_{k+1} - Vy_k + K_y a S (y_k^* - y_k) \Delta Z \quad (3.6)$$

$$k = 1, 2, 3, \dots, n$$

iii. Kazan kademesi

$$H_L \cdot \frac{dx_{n+1}}{dt} = B(y_{n+1} - x_{n+1}) - L(y_{n+1} - x_n) + F(x_F - x_{n+1}) \quad (3.7)$$

$$y_{n+1} = y_{n+1}^* = f(x_{n+1}) \quad (3.8)$$

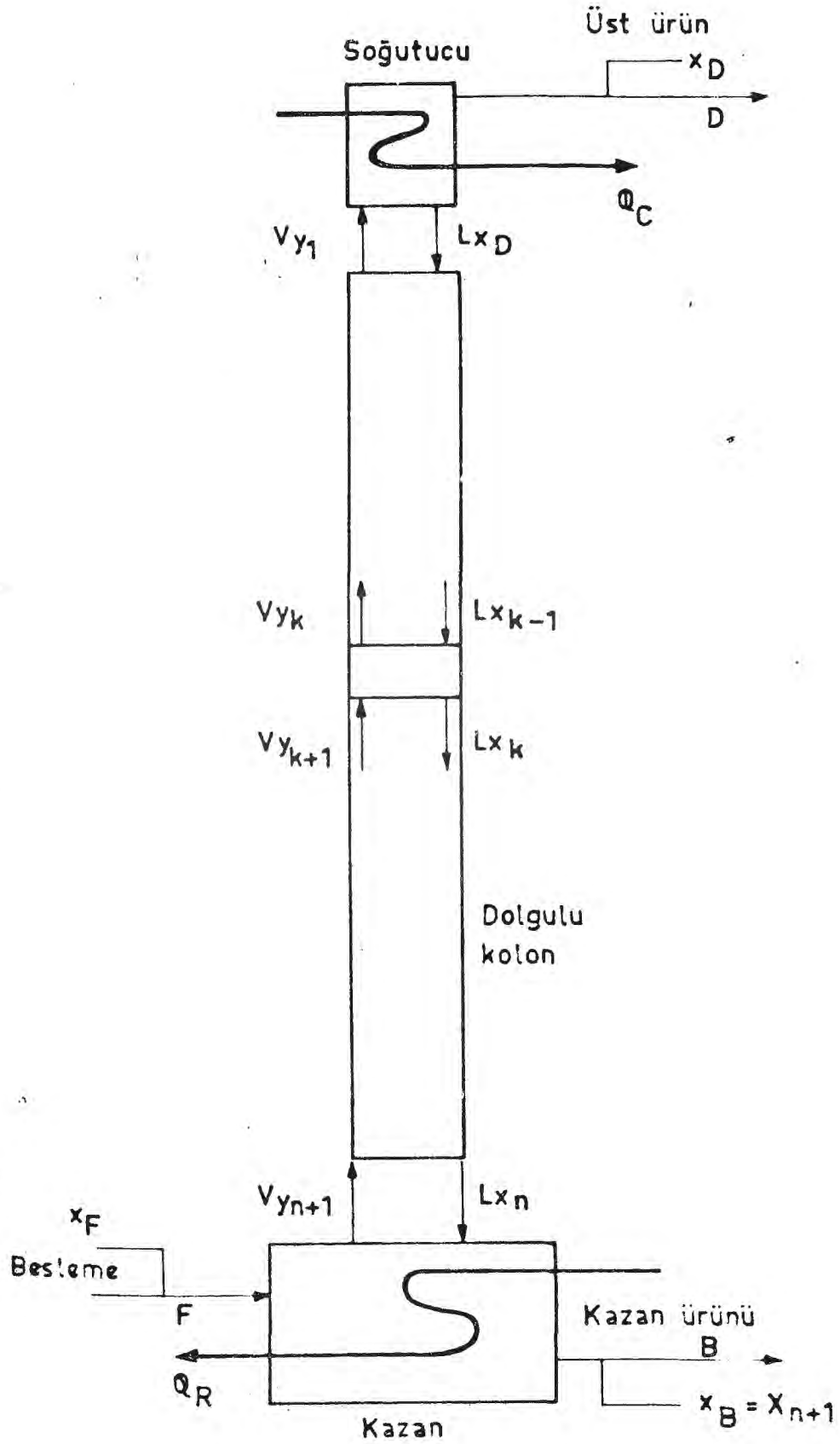
$$E = 1 = \frac{Y_{n+1} - Y_{n+2}}{Y_{n+1} - Y_{n+2}} \quad (3.9)$$

Dolgu lu kolon yatışkin-hal denklemleri :

$$K_Y aS (y_n^* - y_n) \Delta Z = Lx_{n-1} - Lx_n \quad (3.10)$$

$$-K_Y aS (y_n^* - y_n) \Delta Z = Vy_{n+1} - Vy_n \quad (3.11)$$

Yukarıda verilen matematik modelin bilgisayar ile çözüm yöntemleri Bölüm 4'de gösterilmiştir.



ŞEKİL 3.1 : Dolgu destilasyon kolonun kütle donanımı

## BÖLÜM 4

## MATEMATİK MODELİN ÇÖZÜM YÖNTEMLERİ

#### 4.1. Dolgu Destilasyon Kolonunun Matematik Modelin Sayısal Bilgisayar ile Çözümü

Dolgu destilasyon kolonu için geliştirilen matematiksel model (3.1, 3.2) bu araştırmada sayısal bilgisayar ile çözülmüştür. Yapılan çözümler yatışkın ve yatışkın olmayan-hal için verilmiştir.

##### 4.1.1. Yatışkın-Hal İçin Çözüm

Yatışkın olmayan-hal denklemlerinin çözümü için başlangıç şartlarını ve uygun  $K_y a S$  değerini hesaplamak üzere  $n$  tane dolgu kolonda ve bir tane kazan kademesinde olmak üzere toplam  $n + 1$  sayıda denklemin çözümü yapılır. Kademe  $n$ 'de sıvı fazları ve gaz fazları için yatışkın-hal denklemleri;

$$K_y a S (y_n^* - y_n) \Delta Z = Lx_{n-1} - Ex_n \quad (3.9)$$

$$-K_y a S (y_n^* - y_n) \Delta Z = Vy_{n+1} - Vy_n \quad (3.10)$$

Yukarıda  $n$  kademe için yapılan hesaplamalar kısaca aşağıda özetlenmiştir.

1. Soğutucu kademesi için  $x_0 = y_1$  alınır.

2. KyaS deęeri için bir ön tahmin yapılır.
3. Denklem (3.9) den  $x_1$  hesap edilir.
4. Denklem (3.10) dan  $y_2$  hesap edilir.
5. Aynı işlemler ile kazan kademesini terk eden,  $y_{n+1}$ , deęeri hesaplanır.
6. Kazan kademesini terk eden sıvı faz,  $x_{n+1}$ , bu kademenin verimi 1 için hesaplanır.
7. Bulunan sıvı faz,  $x_{n+1}$ , deęeri deneysel bulgular {1} ile karşılaştırılarak  $K_{yAS}$  deęerine bir artma verilerek aynı işlemlere devam edilir.
8. Deneysel deęerlerin hesap edilmiş sıvı fazı mol miktarı ile eşdeęer çıkması ile işlemler bitirilir.

Yukarıdaki işlemlerin yapılabilmesi için denge eğrisi sayısal bir denklem olarak belirtilmesi gerekir,

$$y_n^* = -1,603484x_n^2 + 3,5799x_n - 0,980806$$

Yatışkın-hal için bilgisayar çözümü El'de verilmiştir.

#### 4.1.2. Yatışkın Olmayan-Hal İçin Çözüm

Denklem (3.5, 3.7) lerin çözümleri için dördüncü dereceden Runge-Kutta yöntemi kullanılmıştır. Hesaplamalar sırası aşağıda verilmiştir.

1. Yatışkın-hal çözümlerinden elde edilen başlangıç şartlarını ve  $K_{yAS}$  değerini kullanarak (3.5) ve (3.6) denklemlerinden bir sonraki zaman için  $n$  tane dolgulu kolon ve bir tane kazan kademesinin çıkış sıvı mol değerleri Runge-Kutta denklemler dizisi yardımı ile bulunur.
2. Denklem (3.9) kullanarak bir sonraki zaman için kazan kademesini terk eden buhar mol sayısı hesaplanır.
3. Denklem (3.6) dan dolgulu kolondan çıkan  $n$  kademenin buhar mol sayısı bir sonraki zaman için hesaplanır.
4. Soğutucu kademesi için bu kademeyi terk eden sıvı mol sayısı  $x_D$  ile aynı kademeye giren buhar mol sayısı  $y_1$  eşit alınır.
5. Soğutucu kademesi ile kazan kademesini terk eden sıvı mol sayılarının zamana göre değişimleri aynı sıra ile elde edilir.

Yatışkın olmayan-hal için bilgisayar çözümü El'de verilmiştir.

#### 4.2. Fourier Dönüşümlerinin Sayısal Bilgisayar ile Çözümleri

Genel olarak iletim fonksiyonu, fiziksel bir sistemde iki değişkeni birbirine bağlamaktadır. Bunlardan bir tanesi sistemdeki değişime neden olan değişken (girdi değişkeni)



diğeri ise bu deęişimden etkilenen deęişken (çıkış deęişkeni) olmaktadır. Kısaca iletim fonksiyonu çıkış ve giriş deęişkenlerinin Laplace oranı olarak tanımlanabilir.

$$G(s) = \frac{\theta_1(s)}{\theta_2(s)} = \frac{\int_0^{\infty} \theta_1(t) e^{-st} dt}{\int_0^{\infty} \theta_2(t) e^{-st} dt} \quad (4.1)$$

Bu fonksiyonun sıklık temeline göre Laplace dönüşümü yapılrırsa

$$G(i\omega) = \frac{\int_0^{\infty} \theta_1(t) e^{-i\omega t} dt}{\int_0^{\infty} \theta_2(t) e^{-i\omega t} dt} \quad (4.2)$$

Yukarıdaki denklem (4.2) nin pay ve paydası  $\theta_1(t)$  ve  $\theta_2(t)$ 'nin Fourier dönüşümlerini verir. Denklem (4.2)'den iletim fonksiyonunun sıklık yanıtını pulse ve impulse test yöntemi ile hesaplanabilir.

$$G(i\omega) = \frac{\int_0^{\infty} \theta_1(t) \cos(\omega t) dt - i \int_0^{\infty} \theta_1(t) \sin(\omega t) dt}{\int_0^{\infty} \theta_2(t) \cos(\omega t) dt - i \int_0^{\infty} \theta_2(t) \sin(\omega t) dt} \quad (4.3)$$

$$= \frac{A - iB}{C - iD} = \frac{(AC + BD) + i(AD - BC)}{C^2 + D^2} \quad (4.4)$$

$$= \text{Re}G(i\omega) + i\text{Im}G(i\omega) \quad (4.5)$$

$$A = \int_0^{T_x} \theta_1(t) \cos(\omega t) dt \quad (4.6)$$

$$B = \int_0^{T_x} \theta_2(t) \sin(\omega t) dt \quad (4.7)$$

$$C = \int_0^{T_Q} \theta_2(t) \cos(wt) dt \quad (4.8)$$

$$D = \int_0^{T_Q} \theta_2(t) \sin(wt) dt \quad (4.9)$$

Verilen pulse yanıtını için A,B,C,D katsayılarının hesaplanması gerekir. Katsayıların hesabında belli bir sıklık değeri ,w, alınır ve aynı zaman aralıkları için integral işlemi yapılarak iletim fonksiyonu G(iw) hesaplanır. Verilen çeşitli sıklık değerleri için elde edilen iletim fonksiyonu bulunur. Tüm sonuçlardan Bode diyagramları çizilir.

Yukarıda verilen iletim fonksiyonu G(iw)'yi hesaplamak üzere Fourier dönüşümlerinin integral çözümleri için iki ayrı yöntem kullanılmıştır.

#### 4.2.1. Doğrusal Yaklaşım

Luyben {4} ve Ünal {11} doğrusal yaklaşım ile ilgili bir çözüm yöntemi kullanmışlardır. Eğer denklem (4.1) çıkış değişkeni, x(t), için Fourier dönüşümü yazılırsa,

$$FIT = \int_0^T x(t) e^{-iwt} dt \quad (4.12)$$

Doğrusal yaklaşım ile FIT çözüm yöntemi aşağıda gösterilmiştir.

$$\int_0^{\infty} x(t)e^{-i\omega t} dt \cong \sum_{k=1}^N e^{i\omega t_{k-1}} \left[ x_k \left( \frac{e^{-i\omega t_k} - 1}{\omega^2 \Delta t_k} - \frac{e^{-i\omega t_k}}{i\omega} \right) - x_{k-1} \left( \frac{e^{-i\omega \Delta t_k} - 1}{\omega^2 \Delta t_k} - \frac{1}{i\omega} \right) \right] \quad (4.13)$$

Burada  $\Delta t$ 'ler zaman aralıklarını, N ise nokta sayısını gösterir. Denklem (4.13) sayısal bilgisayar ile bir takım araştırmalarda çözülmüştür {4,10,11}. Hesaplamalar sonunda faz gecikimi ( $\varphi$ ) ve genlik oranı  $|G|$  hesaplanır. Bode diyagramı çizilir.

Yatışkın-hal için iletim fonksiyonu  $G(i\omega)$  aşağıda verilmiştir.

$$G(i\omega) = K_p \int_0^T \frac{x(t) dt}{Q(t) dt} \quad (4.14)$$

Eğer giriş pulse değişkeni dikdörtgen şeklinde ise,  $Q(t)$  Fourier dönüşümü;

$$\int_0^{\infty} Q_1(t) e^{-i\omega t} dt = \frac{h}{i\omega} (1 - e^{-i\omega D}) \quad (4.15)$$

Bu yöntem için bilgisayar çözümleri ve listesi Ek 2'de verilmiştir.

#### 4.2.2. Trapezoidal Yaklaşım

Watanabe ve Matsubara {5}, ve Ünal {11} tarafından Fourier dönüşümlerinin integral çözümü için kullanılmıştır.

Bu yaklaşımda  $w > 0$  iken Fourier dönüşümü ve integral çözümü aşağıda verilmiştir;

$$F(iw) = \Delta t \sum_{n=0}^N P_n f(n\Delta t) e^{-iwn\Delta t} \quad (4.16)$$

ilgili katsayılar açık şekilde yazılırsa;

$$P_0 = [1 - \cos w\Delta t - i(w\Delta t - \sin w\Delta t)] / (w\Delta t)^2 \quad (4.17)$$

$$P_n = (\sin \frac{1}{2} w\Delta t / \frac{1}{2} w\Delta t)^2 \quad (4.18)$$

$$n = 1, 2, 3, \dots, N-1$$

$$P_N = [1 - \cos w\Delta t + i(w\Delta t - \sin w\Delta t)] / (w\Delta t)^2 \quad (4.19)$$

$w = 0$  iken Fourier dönüşümü ise,

$$F(0) = \Delta t \sum_{n=0}^N P_n f(n\Delta t) \quad (4.20)$$

ilgili katsayılar;

$$\lim_{w\Delta t \rightarrow 0} P_0 = \lim_{w\Delta t \rightarrow 0} \frac{1 - \cos w\Delta t}{(w\Delta t)^2} \quad (4.21)$$

$$\lim_{w\Delta t \rightarrow 0} P_0 = \frac{1}{2} = \lim_{w\Delta t \rightarrow 0} P_N$$

$$\lim_{w\Delta t \rightarrow 0} P_n = \lim_{w\Delta t \rightarrow 0} \frac{\sin \frac{1}{2} w\Delta t}{\frac{1}{2} w\Delta t} \quad (4.22)$$

$$\lim_{w\Delta t \rightarrow 0} P_n = 1$$

Bilgisayar çalışmalarında pulse ve impulse giriş değişkeni için doğrusal-I ve trapezoidal yaklaşım yöntemleri kullanılmıştır. Kullanılan yöntemlerde integral adım aralığı,  $\Delta t$ , Bode diyagramı çiziminde gerekli sayıda nokta seçimi için önemlidir. Ayrıca pulse büyüklüğünün değeri de önemlidir. Pulse büyüklüğü,  $h$ , ın büyüklüğü sistemi etkileyebilecek, etkisi gözlenebilecek şekilde olmalıdır.

BÖLÜM 5  
SAYISAL BİLGİSAYAR ÇÖZÜMLERİNDEN ELDE EDİLEN  
KURAMSAL SONUÇLAR

Bu bölümde dolgulu destilasyon kolonunun giriş besleme derişimine verilen pulse ve impulse etkilerinde çıkış deęişkenleri, kazan ve üst ürünlerin, derişimlerinin zamana göre deęişimleri incelenmiştir.

5.1. Sayısal Bilgisayar Çözümlerinde Kullanılan Parametrelerin Deęerleri ve Kolon Boyutları

i. Kolon Boyutları

Bu çalışmada kullanılan kolon 150 cm. boyunda ve 2.5 cm çapındadır, Şekil 5.1 . Kolonun içinde dolgu maddesi olarak iç ve dış çapları olarak 0.75 ve 0.73 cm ve boyu 0.10 cm olan raching halkaları kullanılmıştır. Kolonun kazan kısmı 2 lt.lik bir balon olup bir ısıtıcı manto üzerine yerleştirilmiştir.

ii. Parametrelerin Deęerleri

Çözümlerde kullanılan parametrelerin deęerleri aşağıda verilmiştir.

Suyun ve Formik asidin buharlaşma ısısı

$\lambda_{su} = 127,99$  J/g;  $\lambda_{F.asit} = 28,46$  J/g olarak alınmıştır.

Formik asidin eşlenik molekül ağırlığı (EMA),

$$(EMA) = \frac{\lambda_{su}}{\lambda_{F.asit}} \text{ alınmış ve } EMA = 4,5 \text{ bulunmuştur.}$$

Su formik asit çözeltisinin denge eğrileri EK 4'de verilmiştir {12}. Su'ya göre eşlenik molekül yüzdesi cinsinden aşağıdaki eşitlik ile kütlelesel yüzdeden hesaplanmıştır.

$$X_{Su}^{(EMY)} = \frac{X_{Su}^{(KY)} \cdot 4,5}{[X_{Su}^{(KY)} \cdot 3,5] + 1} \quad (5.1)$$

Bir önceki bölümde açıklandığı gibi bütün hesaplamalar eşlenik mol yüzdesi cinsinden yapılmış ve ilgili hesaplama yöntemi EK 1'de verilmiştir.

#### 5.1.2. Yatışkın-Hal Sonuçları

Tablo 5.1.'de verilen giriş şartlarında dolgulu destilasyon kolonunun yatışkın-hal denklemleri sayısal bilgisayarda çözülmüştür {1}. İlgili ilk ve son yatışkın-hal şartları Tablo 5.2,3'de gösterilmiştir {1}.

#### 5.1.3. Yatışkın Olmayan-Hal Sonuçları

Besleme derişimindeki kademe deęişiminin etkisi ile yatışkın olmayan-hal'e geçen kolonun dinamik özellikleri modellenerek sayısal bilgisayarda çözülmüştür. Çözüm sonuç-

ları Şekil 5.2'de verilmiştir. Görüleceği gibi iki yatışkın hal arasında ürün derişimlerinin deęişimi zamana göre kararlılık göstermektedir.

#### 5.1.4. Pulse

Bu kısımda besleme derişimine pulse etkisi verilerek çıkış derişimlerinin zamana göre deęişimleri incelenmiştir. Kısım 5.1.2. de verilen birinci yatışkın-hal şartlarında dolgulu destilasyon kolonunun besleme derişimine verilen pulse etkisinin özellikleri Tablo 5.4'de verilmiştir. Sistemi etkileyen pulse deęişimi ve çıkış deęişkenlerinin zamana göre deęişimleri Şekil 5.3'de gösterilmiştir.

#### 5.1.5. Impulse-Etkisi

Benzer şekilde impulse etkilerin özellikleri Tablo 5.4'de verilmiştir. Sistemi etkileyen impulse deęişimi ve çıkış deęişkenlerinin zamana göre deęişimleri Şekil 5.4'de gösterilmiştir.

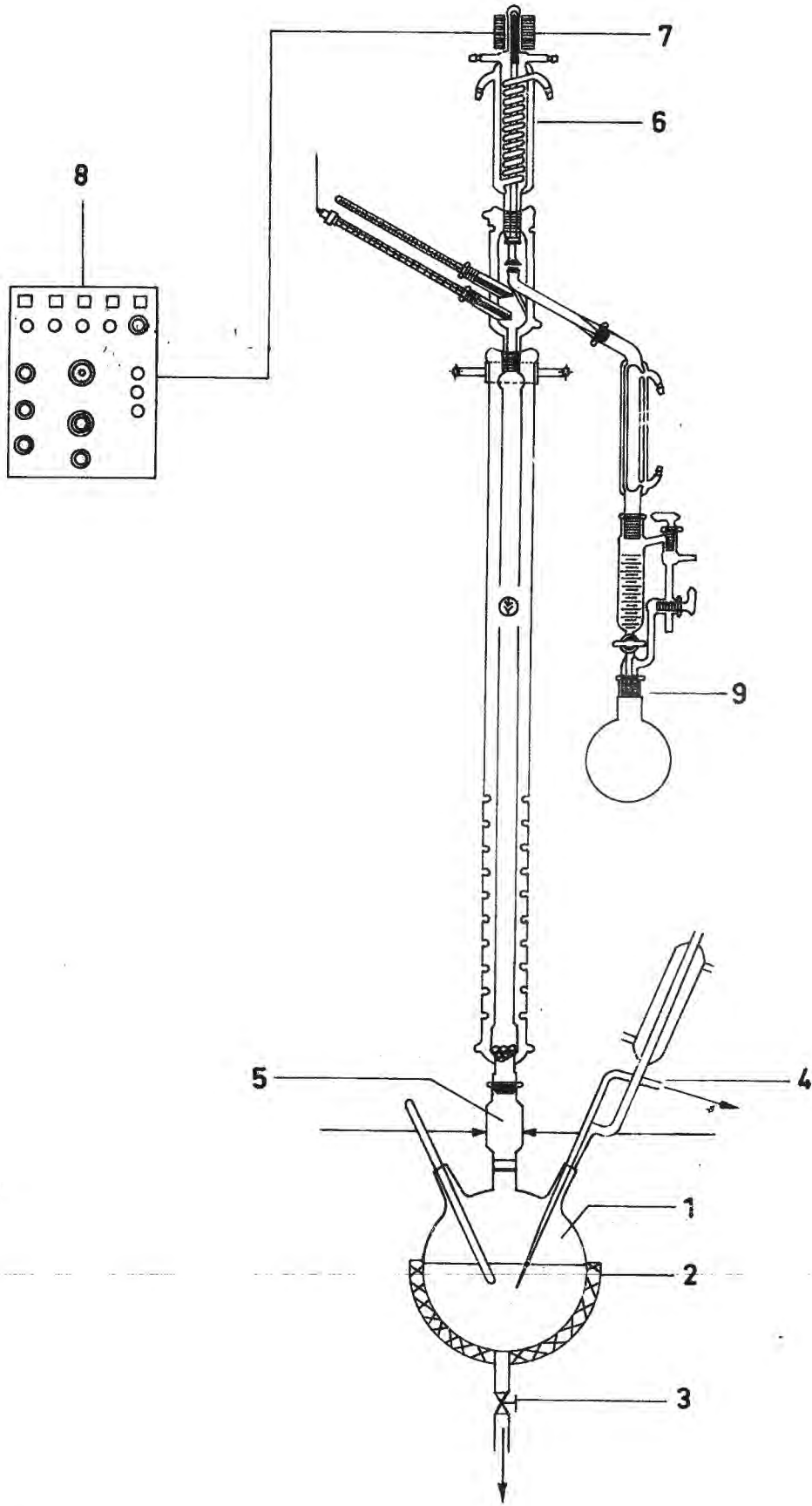
#### 5.1.6. Bode Diyagramları

Kısım 5.1.4.'de pulse deęişiminin etkisinde olan bir sistemin çıkış deęişkenlerinin zamana göre deęişim verilerinden Bode diyagramlarının nasıl çizildiğini bir önceki araştırmada [11] anlatılmıştır.



Kısaca özetlenirse önce sistemin çıkış değişkenin zamana göre değişme verileri  $\Delta t_k$  adım aralıklarına bölünerek her  $t$  ye karşı gelen  $x$  ler belirlenir. Sonra bu noktalar yardımıyla integral çözüm yöntemi kullanılarak Bode diyagramları için gerekli noktalar hesaplanır.

Şekil 5.13,14 de besleme derişimine pulse ve impulse değişimleri verildiğinde elde edilen üst ve kazan ürünlerinin Bode diyagramları karşılaştırılmıştır ve iki ayrı etki altında Bode diyagramları arasında uygunluk görülmüştür.



ŞEKİL 5.1 Dolgulu destilasyon kolonu

- (1) Kolonun kazan kısmı
- (2) 2 lt'lik balon olup, ortası delik bir ısıtıcı manto
- (3) Numunelerin alındığı musluk
- (4) Peristaltik pompa
- (5) Musluk bulunan kolon
- (6) Geri soğutucu
- (7) Soğutucu üzerine yerleştirilen mıknatıs
- (8) Şamandıra ve geri akım oranını kontrol edici
- (9) Üst ürünlerin alındığı bölge

$V_F$ ( $\frac{cm^3}{dak}$ )	$V_B$ ( $\frac{cm^3}{dak}$ )	$V_D$ ( $\frac{cm^3}{dak}$ )	$X_F$ (EMY)	$T_F$ ( $^{\circ}C$ )	R	HL3 ( $cm^3$ )
19.5	15.5	4.0	0.793	27	1	1000
19.5	15.5	4.0	0.880	27	1	1000

Tablo 5.1. : Yatışkın-halde dolgulu kolonun çalışma şartları

$X_D$	$X_1$	$X_2$	$X_3$	$X_4$	$X_5$	$X_6$	$X_7$	$X_8$	$X_9$	$X_{10}$
0.8970	0.8887	0.8807	0.8732	0.8660	0.8593	0.8531	0.8472	0.8418	0.8367	0.8320
$X_{11}$	$X_{12}$	$X_{13}$	$X_{14}$	$X_{15}$	$X_{16}$	$X_{17}$	$X_{18}$	$X_{19}$	$X_{20}$	$X_B$
0.8277	0.8237	0.8201	0.8168	0.8137	0.8109	0.8084	0.8061	0.8040	0.8021	0.7937
$Y_D$	$Y_1$	$Y_2$	$Y_3$	$Y_4$	$Y_5$	$Y_6$	$Y_7$	$Y_8$	$Y_9$	$Y_{10}$
0.8970	0.8970	0.8928	0.8889	0.8851	0.8815	0.8782	0.8750	0.8721	0.8694	0.8669
$Y_{11}$	$Y_{12}$	$Y_{13}$	$Y_{14}$	$Y_{15}$	$Y_{16}$	$Y_{17}$	$Y_{18}$	$Y_{19}$	$Y_{20}$	$Y_B$
0.8645	0.8624	0.8604	0.8586	0.8569	0.8554	0.8540	0.8527	0.8516	0.8505	0.8496

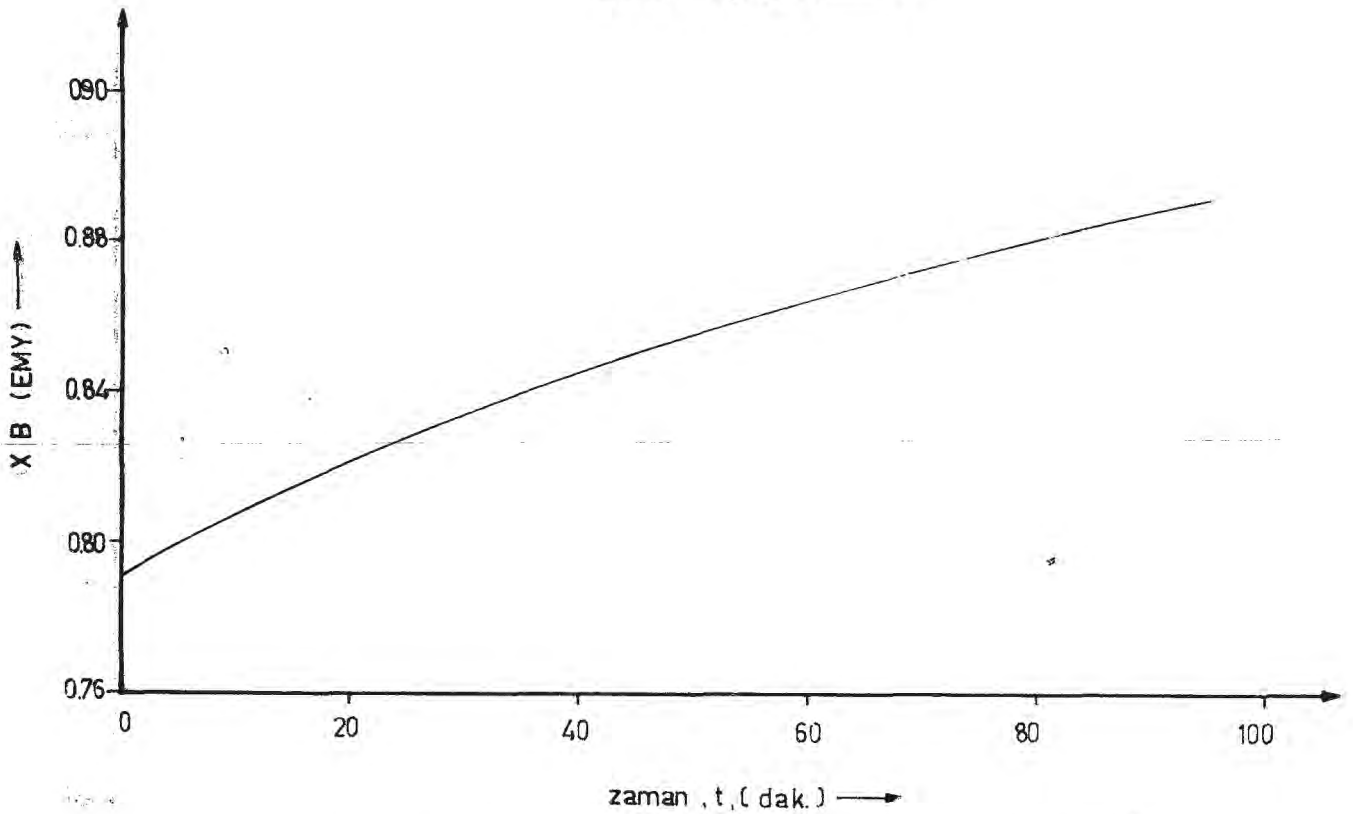
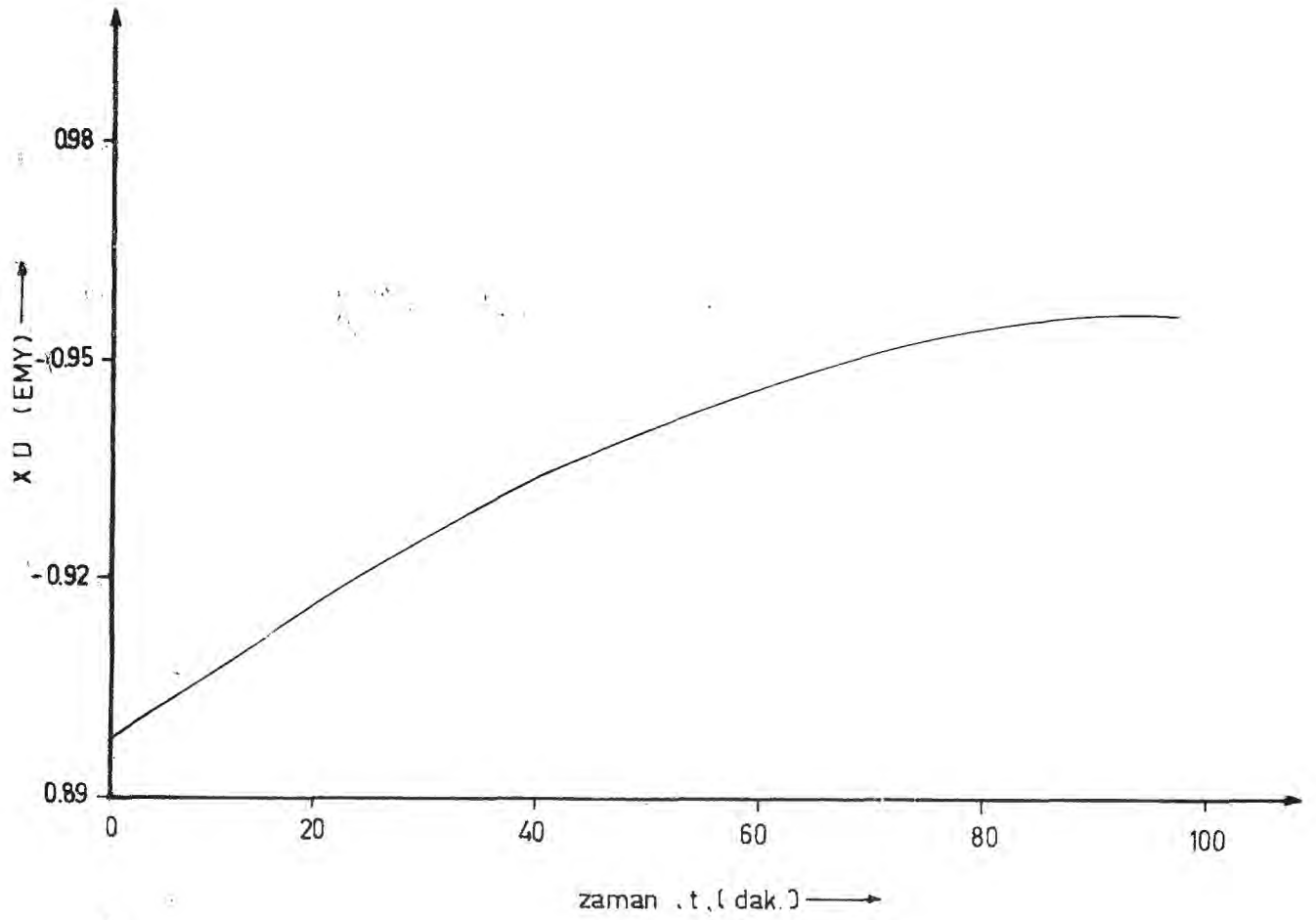
Tablo 5.2. : Yatışkın-hal denklemlerinin sayısal bilgisayar ile  
çözüm sonuçları

$X_D$	$X_1$	$X_2$	$X_3$	$X_4$	$X_5$	$X_6$	$X_7$	$X_8$	$X_9$	$X_{10}$
0.9580	0.9543	0.9506	0.9469	0.9433	0.9397	0.9361	0.9326	0.9292	0.9258	0.9226
$X_{11}$	$X_{12}$	$X_{13}$	$X_{14}$	$X_{15}$	$X_{16}$	$X_{17}$	$X_{18}$	$X_{19}$	$X_{20}$	$X_B$
0.9194	0.9162	0.9132	0.9103	0.9074	0.9046	0.9026	0.8994	0.8963	0.8946	0.8794
$Y_D$	$Y_1$	$Y_2$	$Y_3$	$Y_4$	$Y_5$	$Y_6$	$Y_7$	$Y_8$	$Y_9$	$Y_{10}$
0.9580	0.9580	0.9561	0.9543	0.9525	0.9506	0.9488	0.9471	0.9453	0.9436	0.9419
$Y_{11}$	$Y_{12}$	$Y_{13}$	$Y_{14}$	$Y_{15}$	$Y_{16}$	$Y_{17}$	$Y_{18}$	$Y_{19}$	$Y_{20}$	$Y_B$
0.9403	0.9387	0.9371	0.9356	0.9341	0.9327	0.9313	0.9300	0.9287	0.9275	0.9263

Tablo 5.3. : Yatışkın-hal denklemlerinin sayısal bilgisayar ile çözüm sonuçları

D (dak)	12.75	1
DLT 1 (dak)	1.159	0.333
DLT 3 (dak)	1.213	0.375
Nokta Sayısı	27	20
$T_{x_D}$ (dak)	32.75	16.25
$T_{x_B}$ (dak)	32.75	16.25

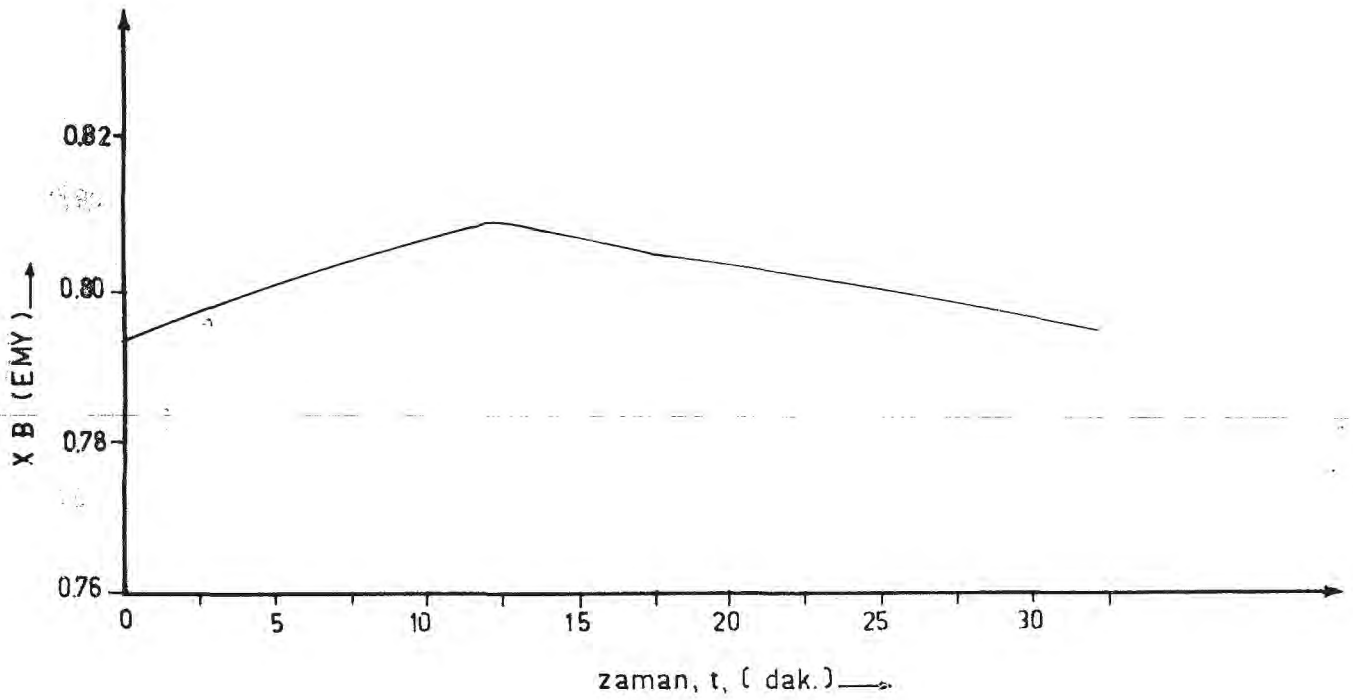
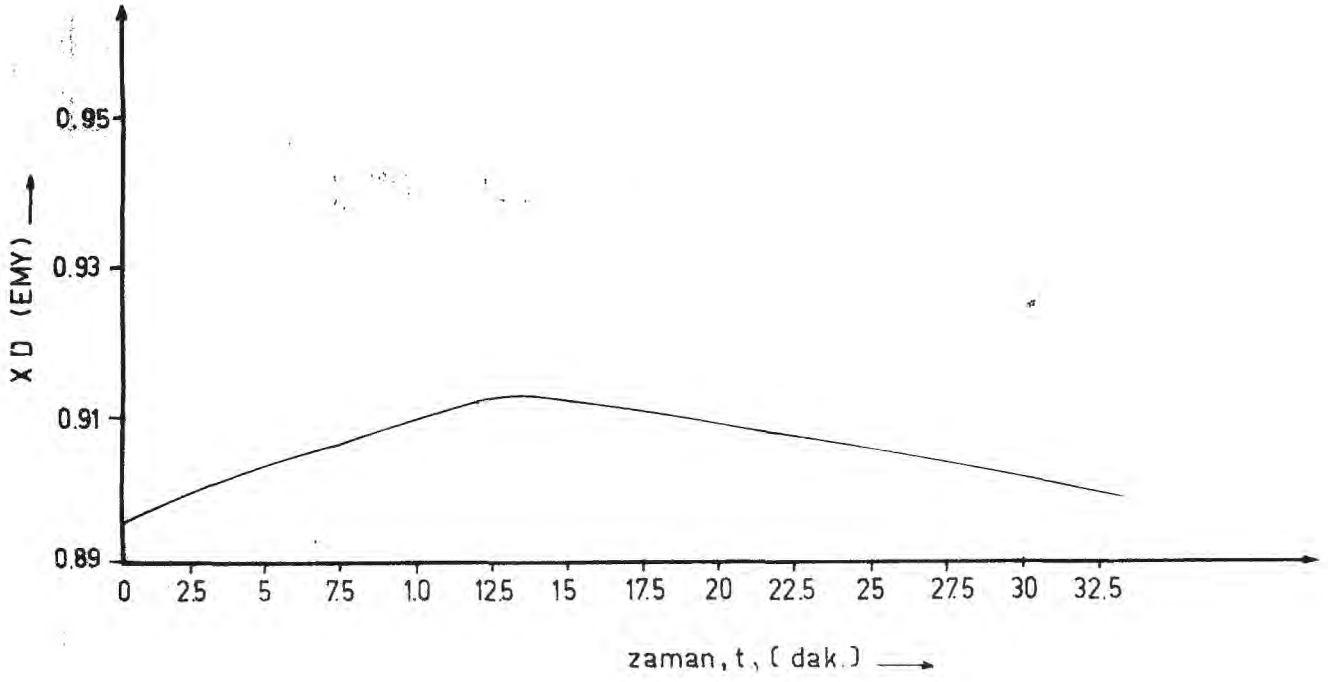
Tablo 5.4. : Bode diyagramlarının hesaplanması için bilgisayara verilecek veriler.



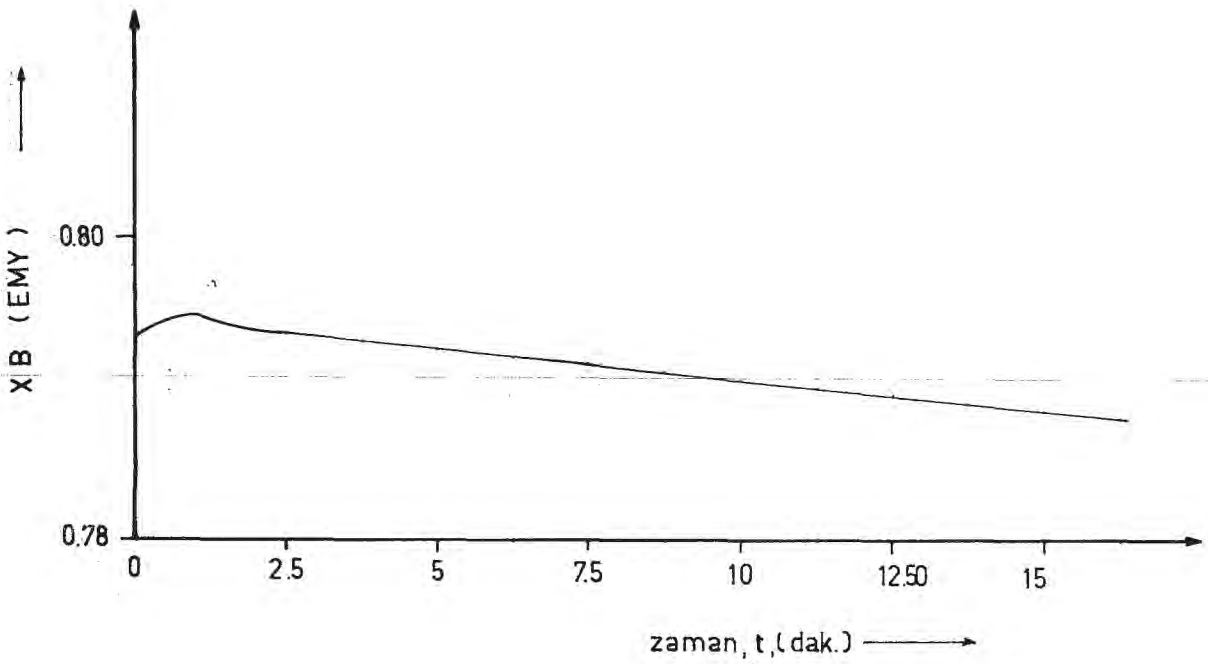
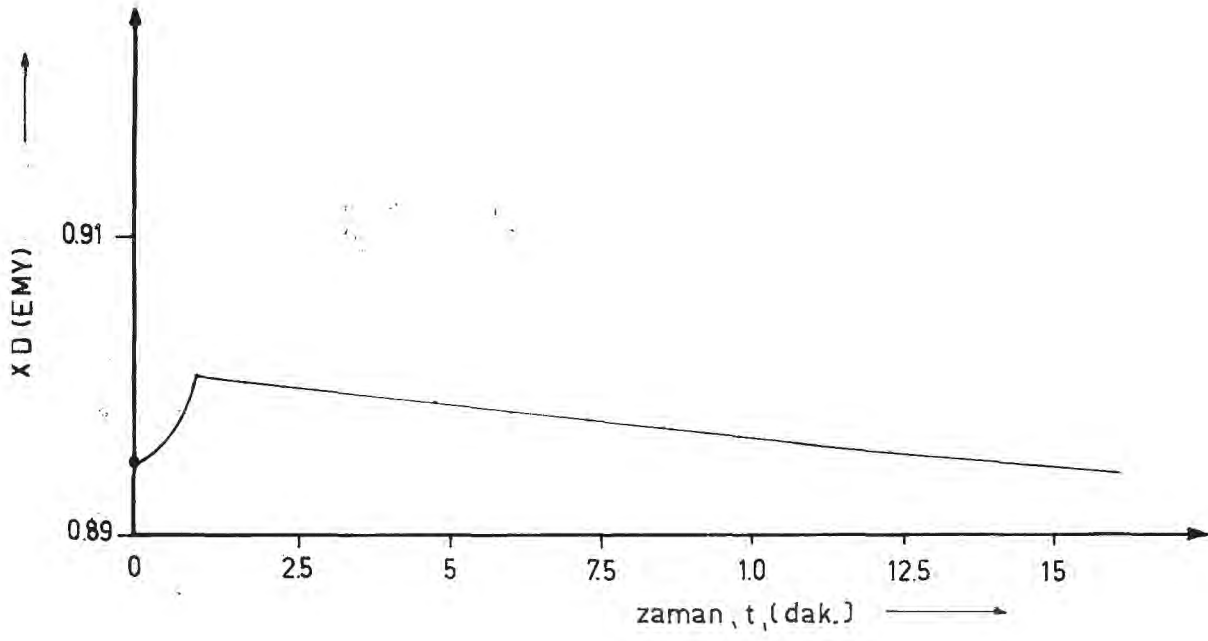
Şekil 5.2 : Üst ve kazan ürünlerinin zamana göre değişimleri

$$(X_{F_1} = 0,793 \text{ (IMY)}; X_{F_2} = 0,880 \text{ (EMY)})$$



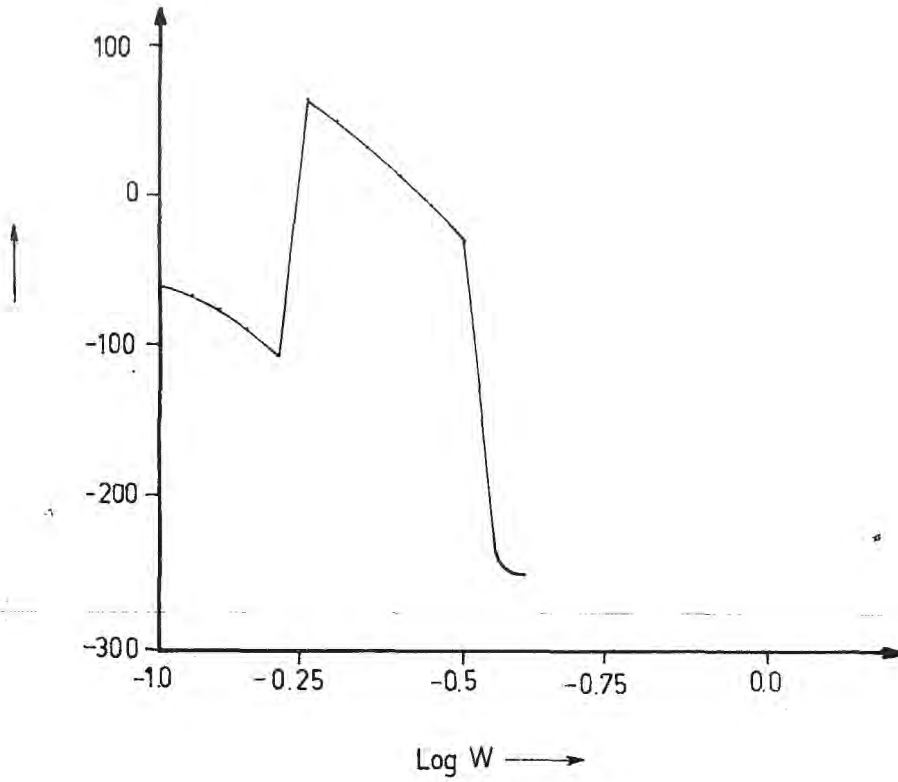
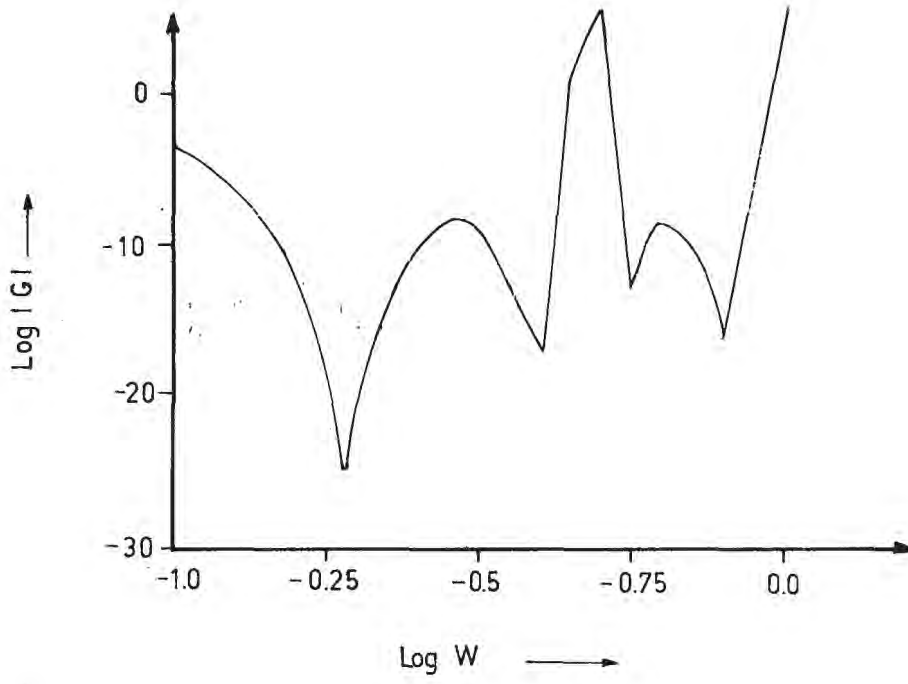


Şekil 5.3 : Besleme derişimindeki pulse etkisinde, kazan ve üst ürün derişimlerinin zamana göre deęişimi  
( $h = 0,087$ ;  $D = 12,75$  dak)

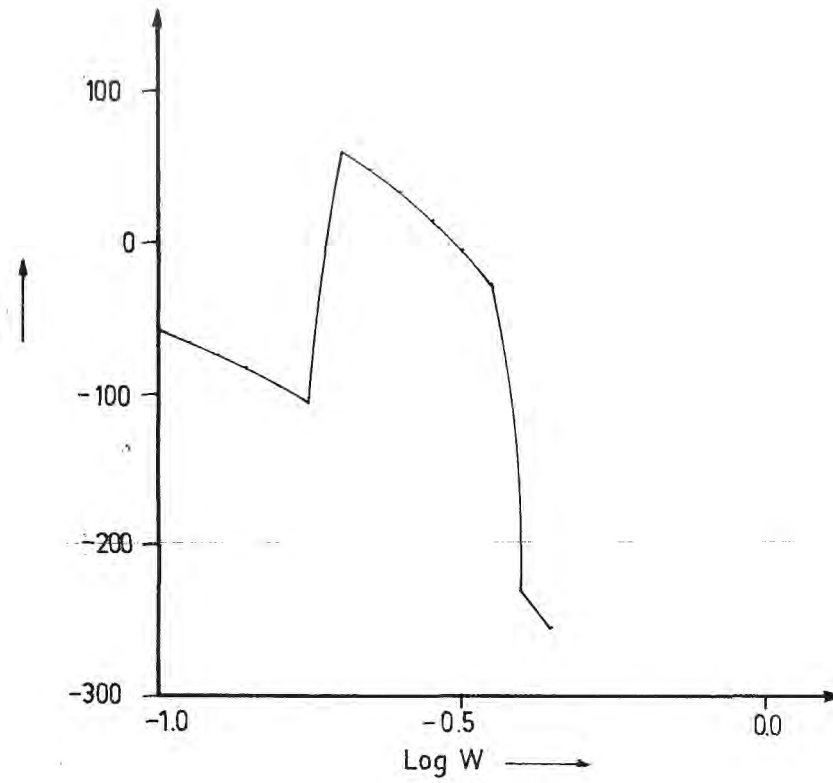
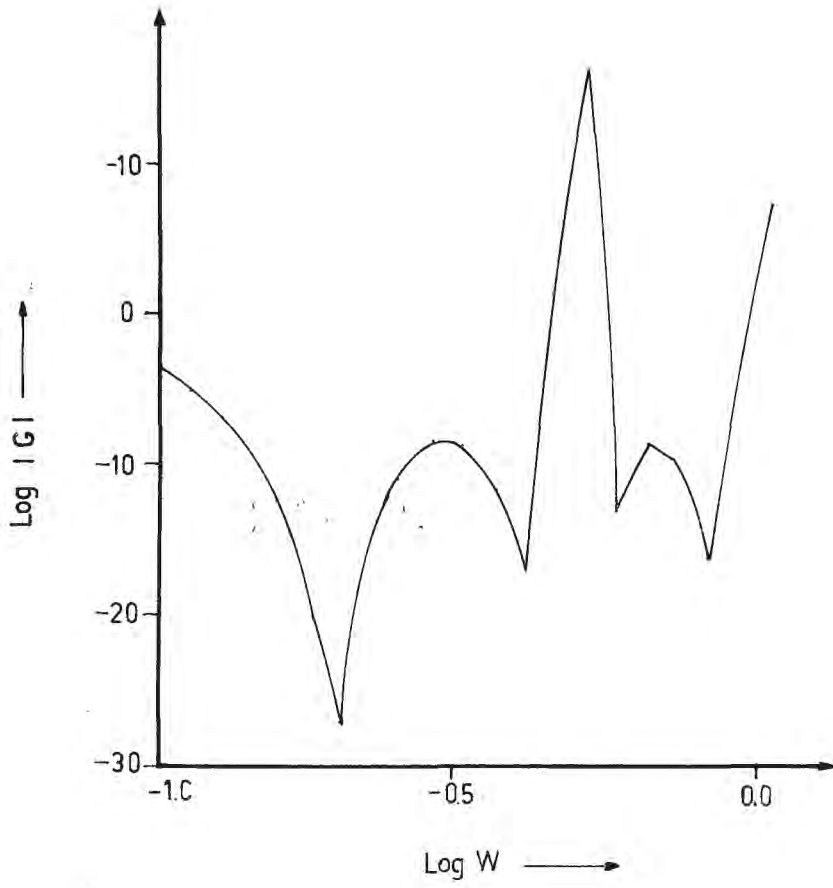


Şekil 5.4 : Besleme derişimindeki impulse etkisinde kazan ve üst ürün derişimlerinin zamana göre deęisiimi

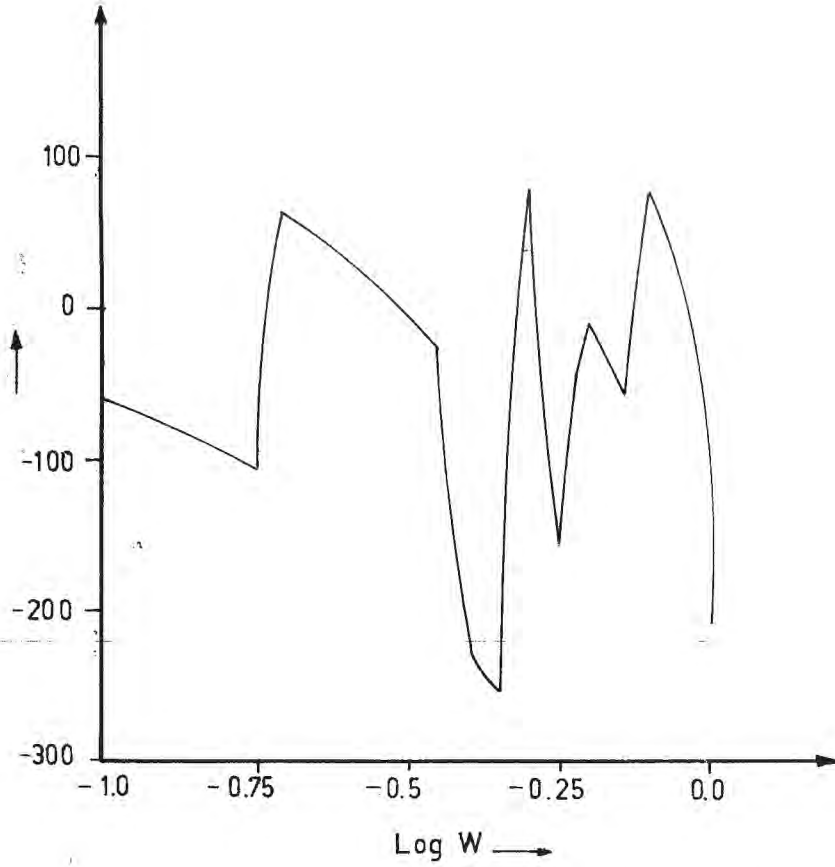
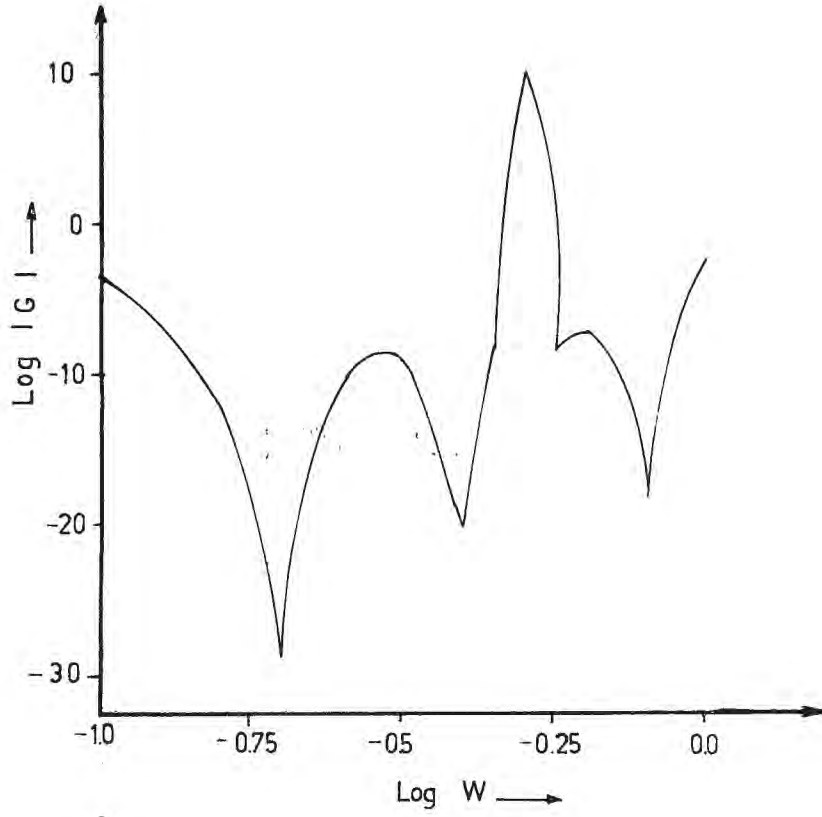
$$(h = 0,087; D = 1 \text{ dak})$$



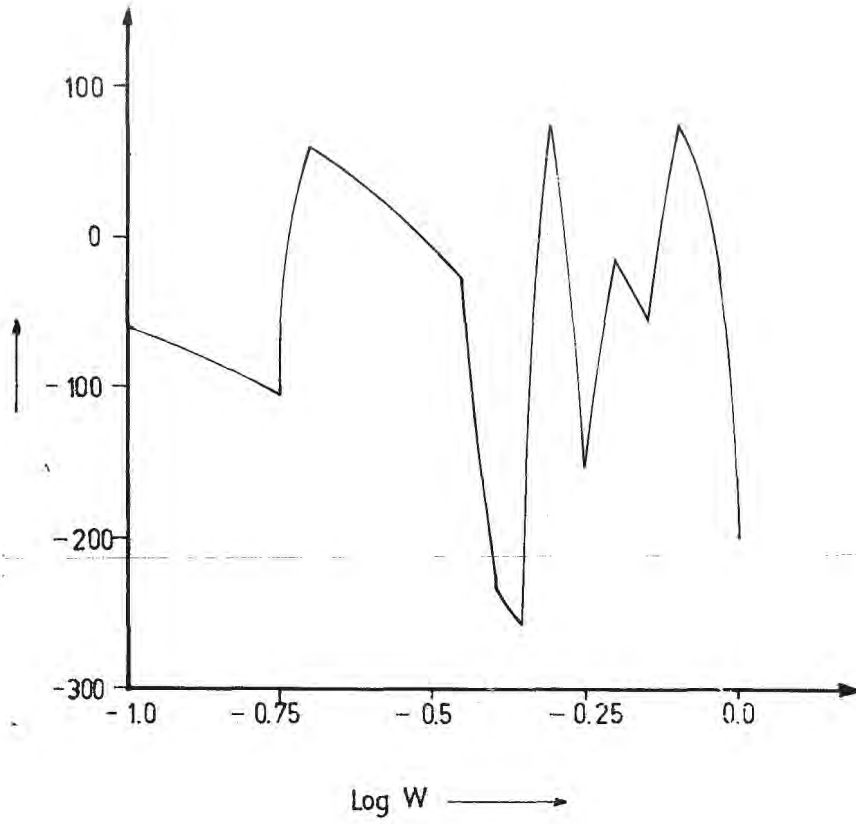
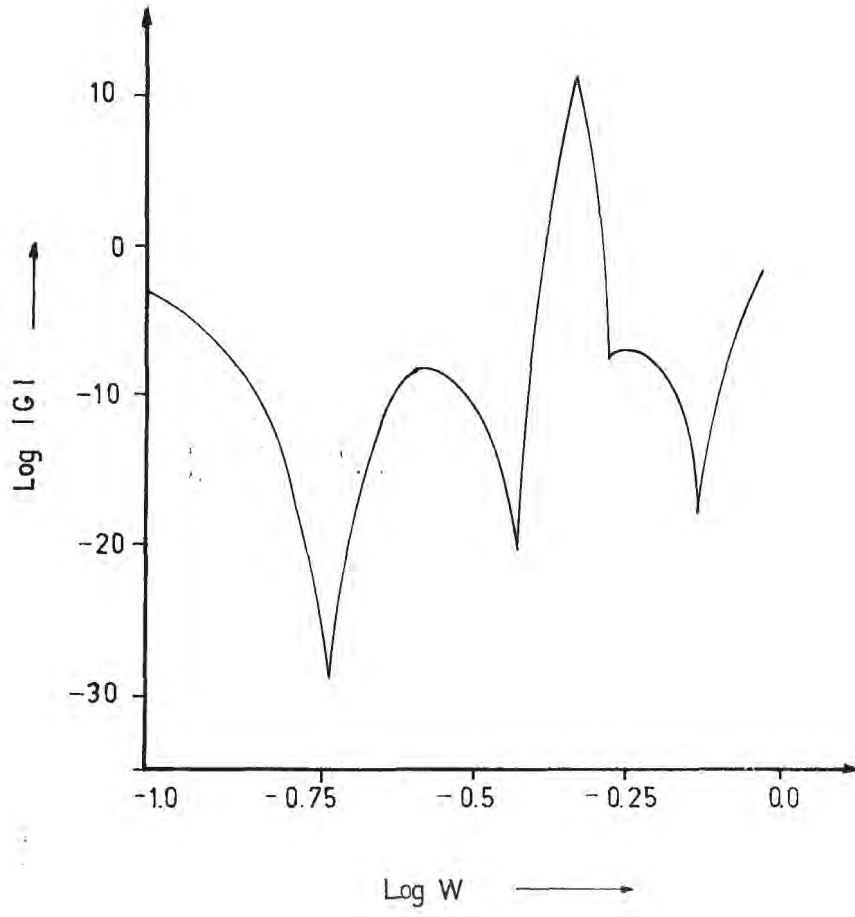
Şekil 5.5 : Besleme derişimindeki pulse etkisinde üst ürün,  $X_D$ , çıkış derişimi için Doğrusal-I yaklaşım ile hesaplanan Bode diyagramı



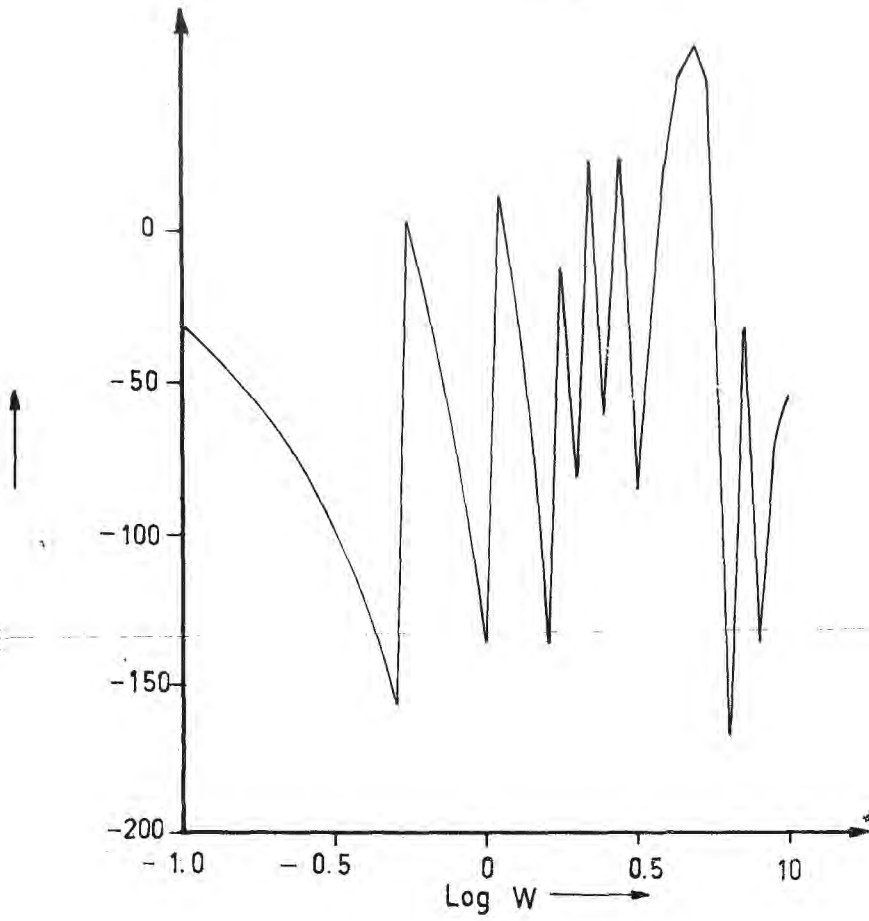
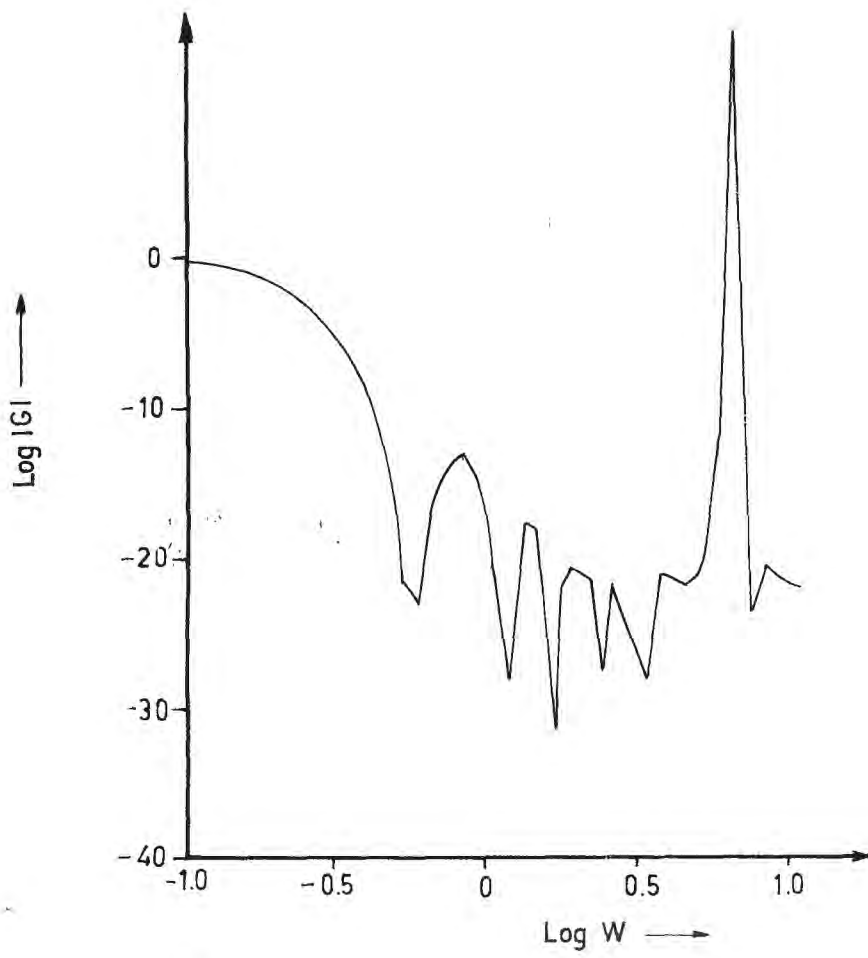
Şekil 5.6 : Besleme derişimindeki pulse etkisinde kazan ürünü,  $X_B$ , çıkış derişimi için Doğrusal-I yaklaşım yöntemi ile hesaplanan Bode diyagramı



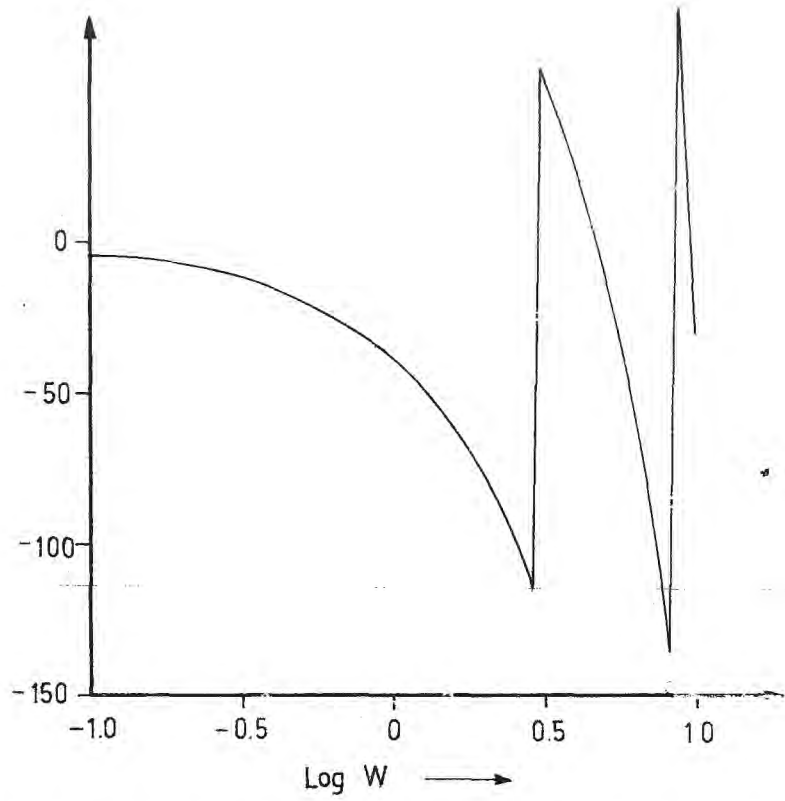
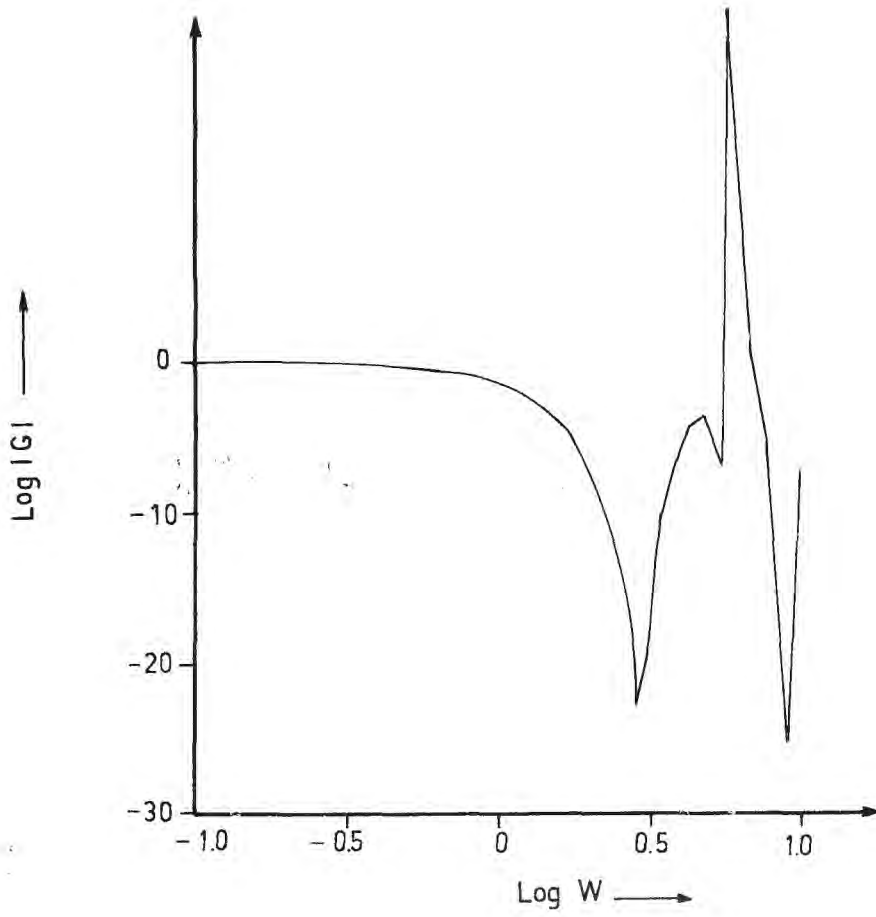
Şekil 5.7 : Besleme derişimindeki pulse etkisinde üst ürün,  $X_D$ , çıkış deęişimi için Trapezoidal yaklaşım yöntemi ile hesaplanan Bode diyagramı



Şekil 5.8 : Besleme derişimindeki pulse etkisinde kazan ürünü  $X_B$ , çıkış derişimi için Trapezoidal yaklaşım yöntemi ile hesaplanan Bode diyagramı

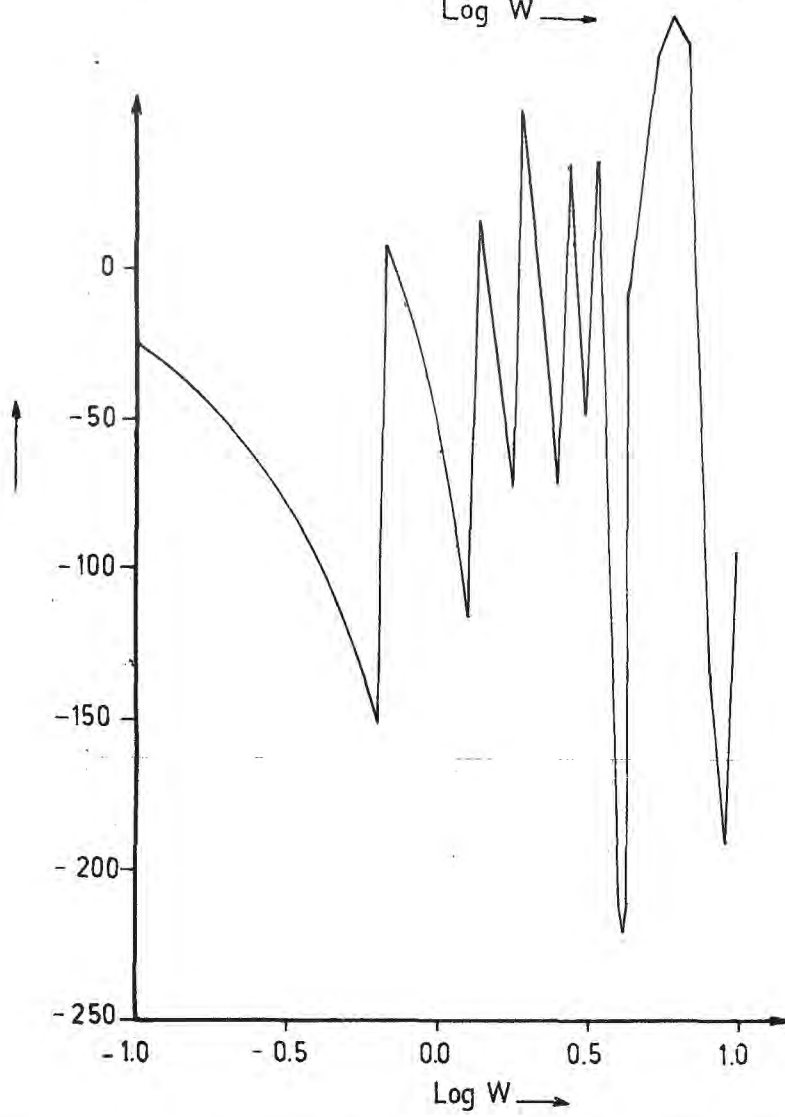
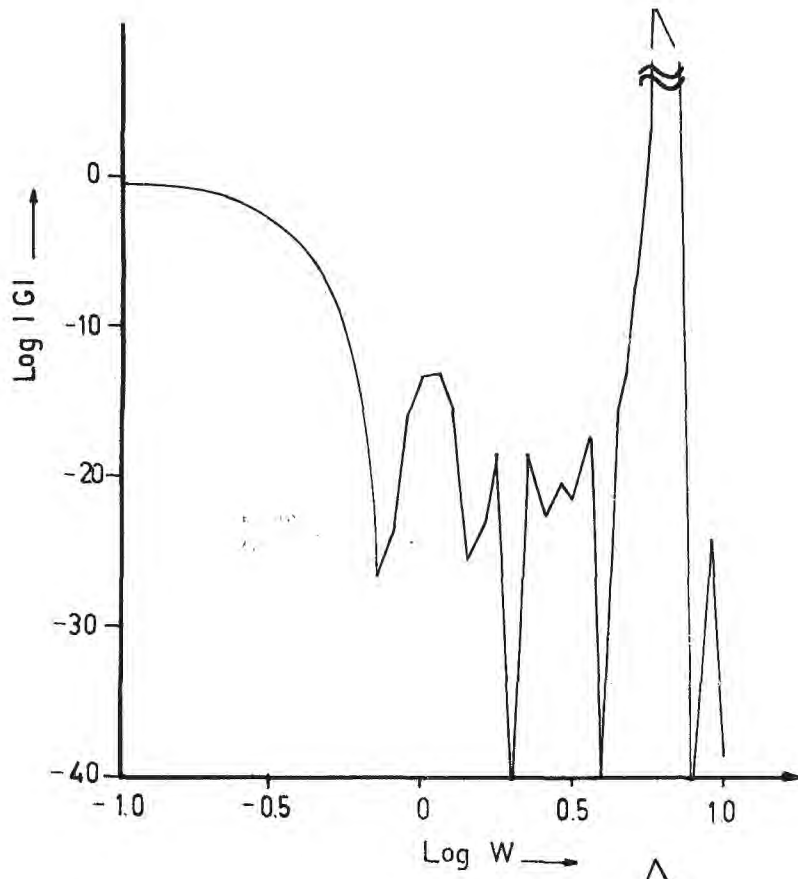


Şekil 5.9 : Besleme derişimindeki impulse etkisinde üst ürün,  $X_D$ , çıkış derişimi için Doğrusal-I yaklaşım yöntemi ile hesaplanan Bode diyagramı

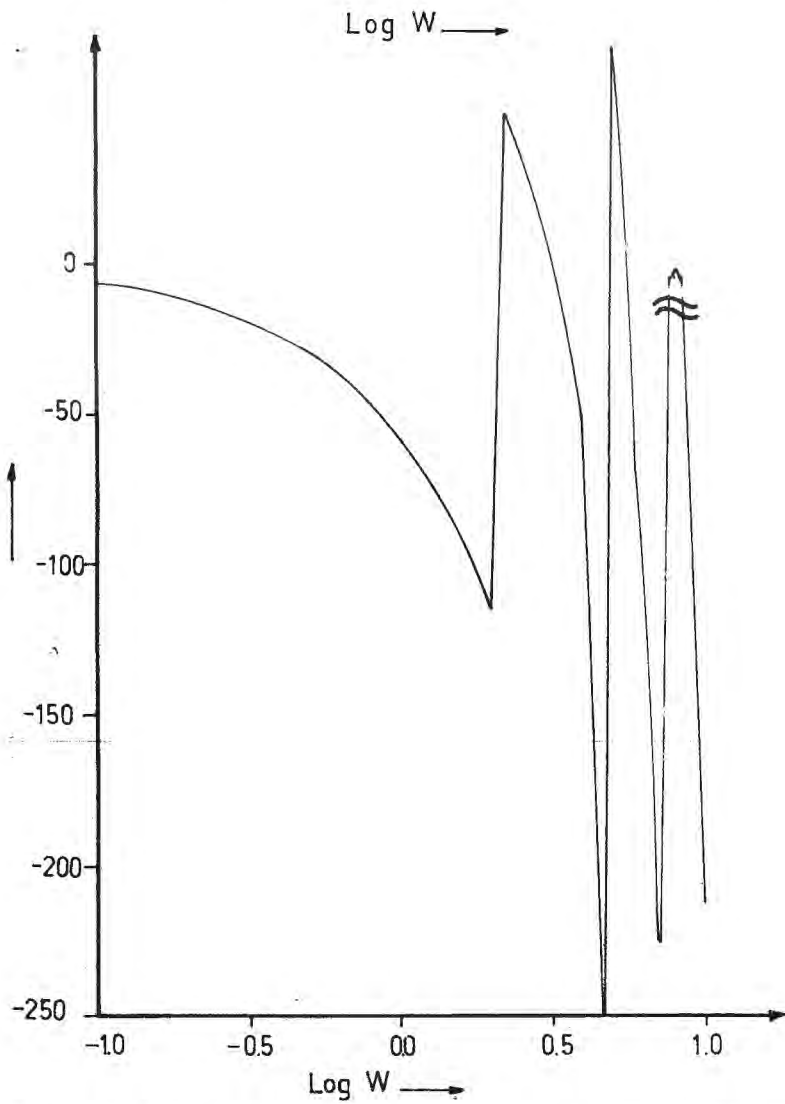
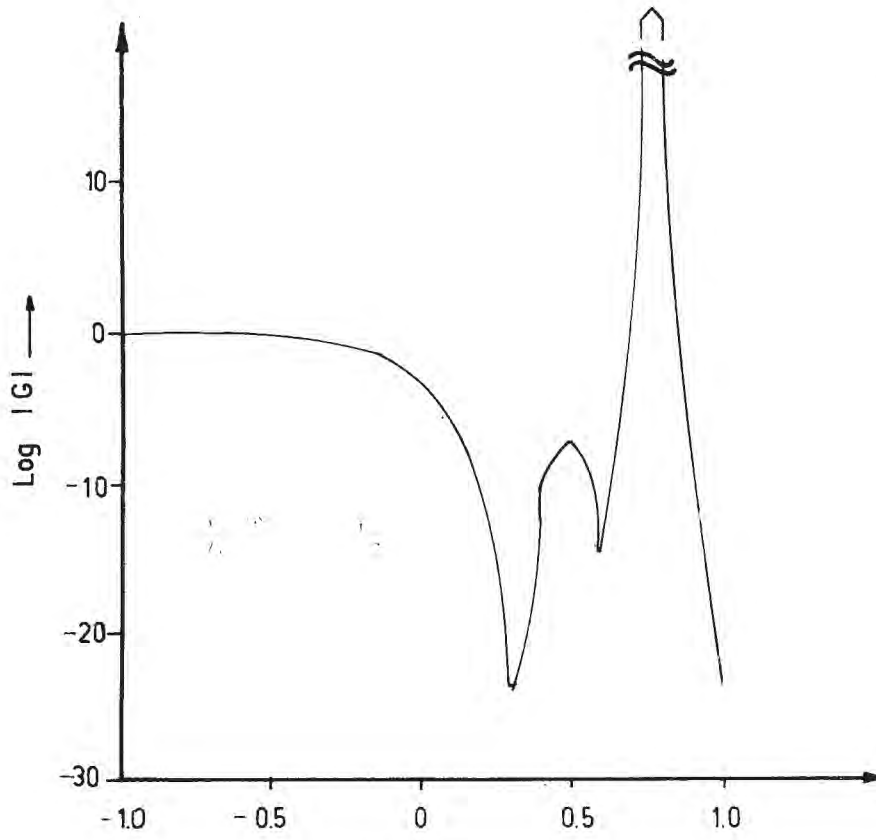


Şekil 5.10 : Besleme derişimindeki impulse etkisinde kazan ürünü,  $X_B$ , çıkış derişimi için Doğrusal-I yaklaşım yöntemi ile hesaplanan Bode diyagramı

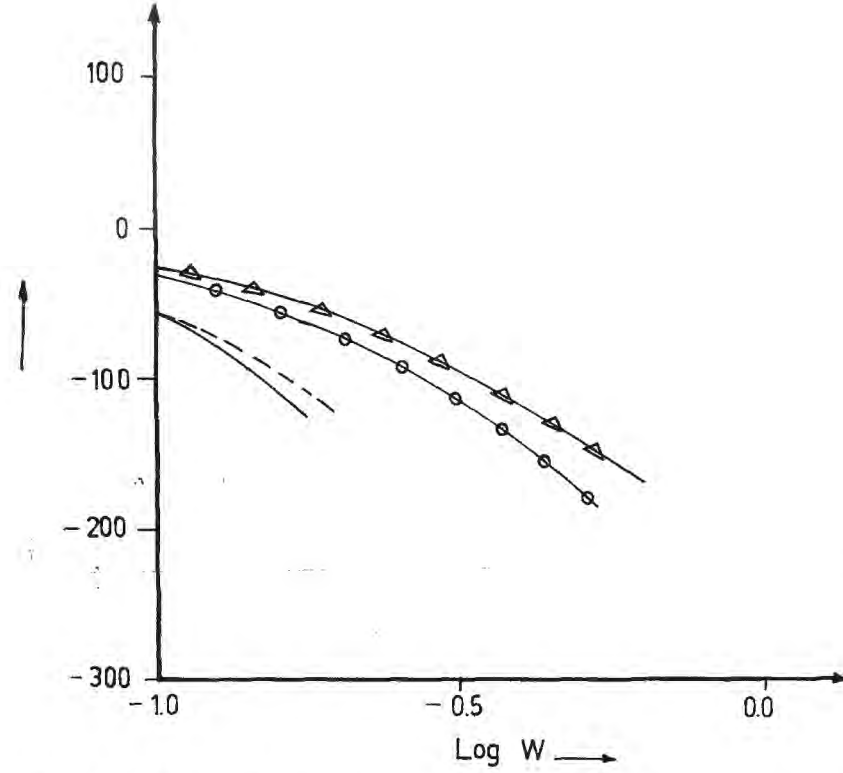
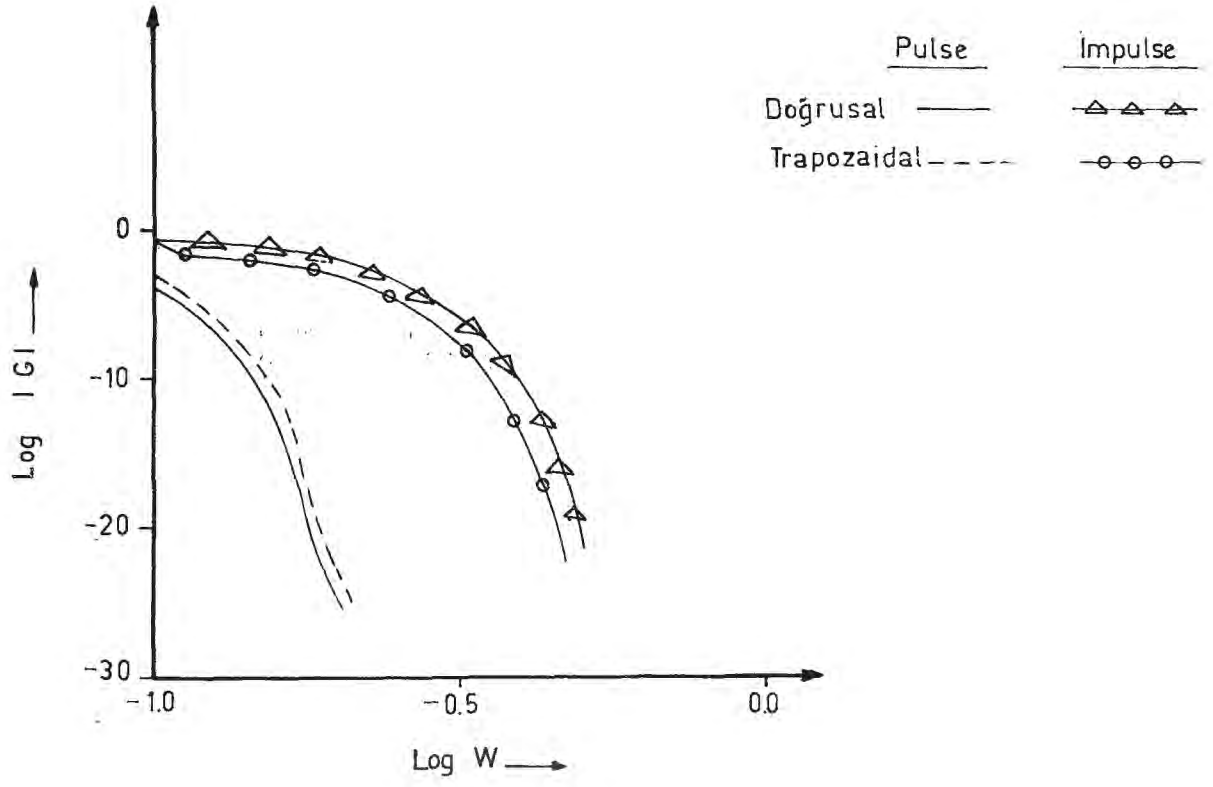




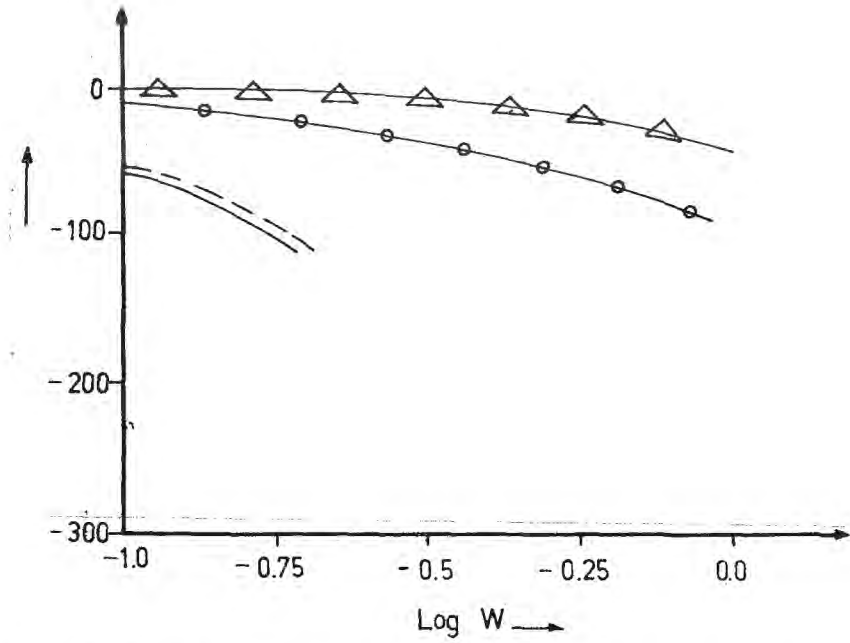
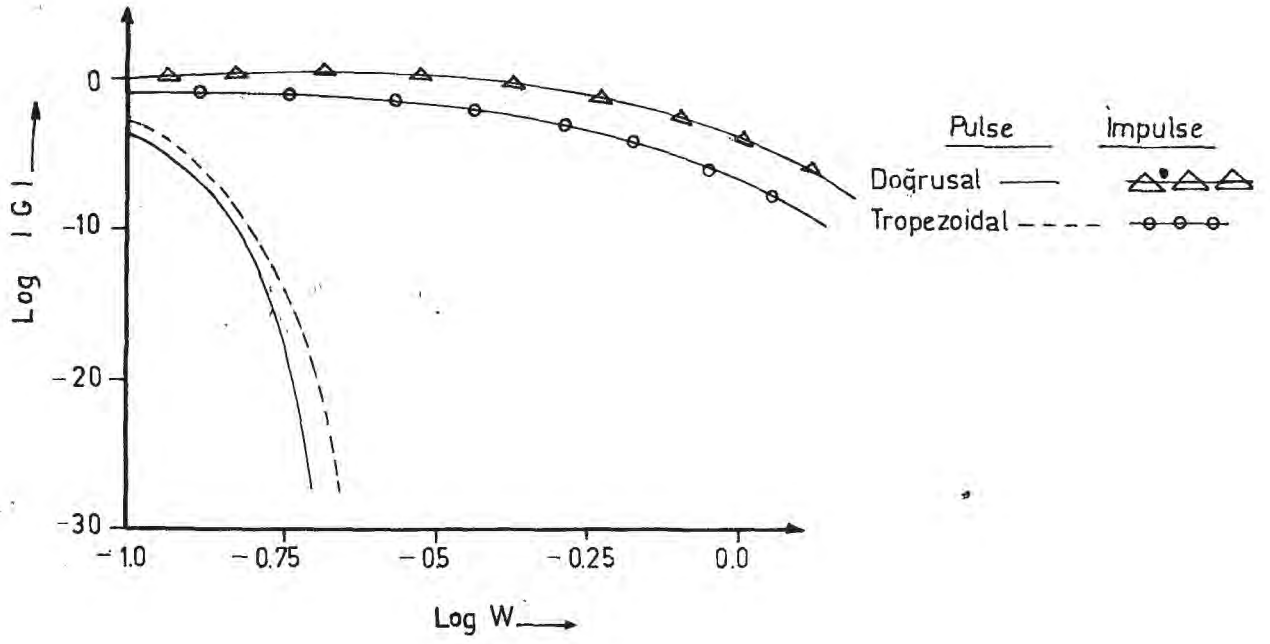
Şekil 5.11 : Besleme derişimindeki impulse etkisinde üst ürün,  $X_D$ , çıkış derişimi için Trapezoidal yaklaşım yöntemi ile hesaplanan Bode diyagramı



Şekil 5.12 : Besleme derişimindeki impulse etkisinde kazan ürünü,  $X_B$ , çıkış derişimi için Trapezoidal yaklaşım için hesaplanan Bode diyagramı.



Şekil 5.13 : Besleme derişimine pulse ve impulse etkileri verildiğinde üst ürün,  $X_D$ , için Bode diyagramları



Şekil 5.14 : Besleme derişimine pulse ve impulse etkileri verildiğinde kazan ürün  $X_B$  için Bode diyagramları

## BÖLÜM 6

## SONUÇLAR VE İLERİ ÇALIŞMALAR İÇİN ÖNERİLER

Bu bölümde, yapılan araştırmada elde edilen sonuçlar ve ileri çalışmalar için önerilere yer verilmiştir.

1. Besleme derişimine pulse ve impulse deęişimleri verilerek çıkış deęişimleri olan üst ve kazan ürünlerinin derişimleri Zamana göre deęişimleri hesaplanmıştır.
2. Üst ve kazan ürünlerinin derişimlerinin zamana göre deęişimlerinden ilgili Bode diyagramları doğrusal ve trapezoidal yaklaşım yöntemleri ile hesaplanmıştır.
3. Hesaplanan Bode diyagramları belli bir frekanstan sonra kararsızlık göstermektedirler.
4. İmpulse ve pulse etkilerinden elde edilen Bode diyagramları birbirine benzemektedirler.

Yukarıda verilen sonuçlar yardımı ile ilgili öneriler aşağıda verilmiştir.

1. Dolgulu destilasyon kolonunun benzer şartlarda pulse etkisi deneysel olarak incelenebilir. Deneysel ve teorik sonuçlar karşılaştırılabilir.

2. Dolgulu destilasyon kolonunun besleme derişimine pseude-random etkisi verilerek daha sađlıklı Bode diyagramları hesaplanabilir.
3. Benzer alıřmalar ok bileřenli kolonlar iinde yapılabilir.
4. Bu kolonun otomatik ve optimal kontrolleri yapılabilir.

## EK 1

YATIŞKIN VE YATIŞKIN OLMAYAN-HAL DENKLEMLERİNİN  
SAYISAL BİLGİSAYAR İLE ÇÖZÜMÜ

Yatışkın-hal denkleminde uygun KyaS değerinin bulunması için başlangıç KyaS değerinin hesaplanması aşağıda verilmiştir.

$$x_F = 0,54 \text{ Formik Asit}$$

$$x_D = 0,34 \text{ Formik Asit}$$

$$x_F = 0,46 \text{ su}$$

$$x_D = 0,66 \text{ su}$$

$$T_F = 27 \text{ (}^\circ\text{C)}$$

$$T_D = 27 \text{ (}^\circ\text{C)}$$

$$V_F = 19,5 \left( \frac{\text{cm}^3}{\text{dak}} \right)$$

$$V_D = 4,0 \left( \frac{\text{cm}^3}{\text{dak}} \right)$$

$$x_B = 0,57 \text{ Formik Asit}$$

$$x_D = 0,43 \text{ Su}$$

$$T_B = 104 \text{ (}^\circ\text{C)}$$

$$V_B = 15,5 \left( \frac{\text{cm}^3}{\text{dak}} \right)$$

Hesaplamalar eşlenik mol yüzdeleri cinsinden yapılabacağından;

$$X(\text{EMY}) = \frac{X(\text{KY}) \cdot 4,5}{[X(\text{KY}) 3,5] + 1} \text{ eşitliği kullanılacaktır.}$$

$$x_F (\text{EMY}) = 0,793 \text{ Su}$$

$$x_D (\text{EMY}) = 0,897 \text{ Su}$$

$$x_B (\text{EMY}) = 0,772 \text{ Su}$$

Bir mol çözeltinin gram olarak ağırlığı,

$$A = x_{su}(EMY) + (1-x_{su}(EMY)) \cdot 4,5 \text{ denkleminde hesaplanır.}$$

$$A_F = 1,7245 \text{ (g)}$$

$$A_D = 1,3605 \text{ (g)}$$

$$A_B = 1,7980 \text{ (g)}$$

Bir gramın  $\text{cm}^3$  olarak hacmi,

$$V_{TOP} = \frac{x_{su}(KY)}{\rho_{su}} + \frac{x_{F.asit}(KY)}{\rho_{F.asit}}$$

denkleminde hesaplanır.

$$V_{F_{TOP}} = 0,902 \left(\frac{\text{cm}^3}{\text{g}}\right)$$

$$V_{D_{TOP}} = 0,939 \left(\frac{\text{cm}^3}{\text{g}}\right)$$

$$V_{B_{TOP}} = 0,897 \left(\frac{\text{cm}^3}{\text{g}}\right)$$

Çözeltinin  $\left(\frac{\text{g}}{\text{cm}^3}\right)$  olarak ortalama yoğunluğu,

$\rho_v = \frac{1}{v}$  denkleminde hesaplanır.

$$\rho_{v_F} = \frac{1}{v_{F_{TOP}}} = 1,103 \left(\frac{\text{g}}{\text{cm}^3}\right)$$

$$\rho_{v_D} = \frac{1}{v_{D_{TOP}}} = 1,065 \left(\frac{\text{g}}{\text{cm}^3}\right)$$

$$\rho_{v_B} = \frac{1}{v_{B_{TOP}}} = 1,115 \left(\frac{\text{g}}{\text{cm}^3}\right)$$



Çözeltilerin giriş hızlarını  $\bar{v} = \frac{V\rho_V}{A}$  ;  $\left(\frac{\text{EMY}}{\text{dak}}\right)$

denklemini verir.

$$V_F = 12,54 \left(\frac{\text{EMY}}{\text{dak}}\right)$$

$$V_D = 3,131 \left(\frac{\text{EMY}}{\text{dak}}\right)$$

$$V_B = 9,612 \left(\frac{\text{EMY}}{\text{dak}}\right)$$

$$V_{\text{Buhar}} = V_D (1 + R)$$

$$V_{\text{Buhar}} = 6,262 \left(\frac{\text{EMY}}{\text{dak}}\right)$$

$$L = V_{\text{Buhar}}^{-D} \Rightarrow L = 3,13 \left(\frac{\text{EMY}}{\text{dak}}\right)$$

$$C_{p_{\text{su}}} = 0,239 \left(\frac{\text{j}}{\text{g}^{\circ}\text{C}}\right) \quad C_{p_{\text{F.asit}}} = 0,7488 \left(\frac{\text{j}}{\text{g}^{\circ}\text{C}}\right)$$

alınırsa;

Çözeltinin öz ısısı;

$$\bar{C}_{p_r} = x_{\text{su}}(\text{KY}) \cdot C_{p_{\text{su}}} + x_{\text{F.asit}}(\text{KY}) \cdot C_{p_{\text{F.asit}}}$$

denkleminde

$$\bar{C}_{p_r} = 0,177 \left(\frac{\text{j}}{\text{g}^{\circ}\text{C}}\right) \text{ bulunur.}$$

Beslemenin özelliğini belirten parametre ( $f$ )  $f < 0$  olduğundan

$$f = - \frac{\bar{C}_{pF} (T - T_F)}{\lambda_{su}} \text{ denkleminde } f = -0,107 \text{ bulunur.}$$

$$y = - \frac{1-f}{f} x + \frac{x_F}{f} \text{ besleme doğrusu denkleminde,}$$

$$y = 10,34 x - 7,4 \text{ bulunur.}$$

Zenginleştirme bölgesinde çalışma doğrusunu hesaplamak için;

$$y = \frac{R}{R+1} x + \frac{x_D}{R_D+1} \quad \text{Eğim} = \frac{R}{R+1}$$

$$\text{Kesim} = \frac{x_D}{R+1}$$

$R = 1$  olduğundan

$$\text{Eğim} = 0,5 \quad \text{Kesim} = 0,4485 \text{ bulunur.}$$

Zenginleştirme bölgesinde çalışma doğrusu denklemi  $y = 0,5 x + 0,4485$  şeklindedir.

Besleme ve zenginleştirme bölgesinde çalışma doğrusunun kesim noktaları grafikten çizim ile bulunmuştur, Şekil E1.1 .

$$\int_{Y_B^*}^{Y_1} \frac{dy}{Y^* - Y} ; \text{ denkleminin grafiksel integrasyonu ile, } Z$$

uzunluğu bulunur.

$$z = \int_0^z dz = \frac{v}{K_y a S} \int_{y_B^*}^{y_1} \frac{dy}{y^* - y} \text{ veya}$$

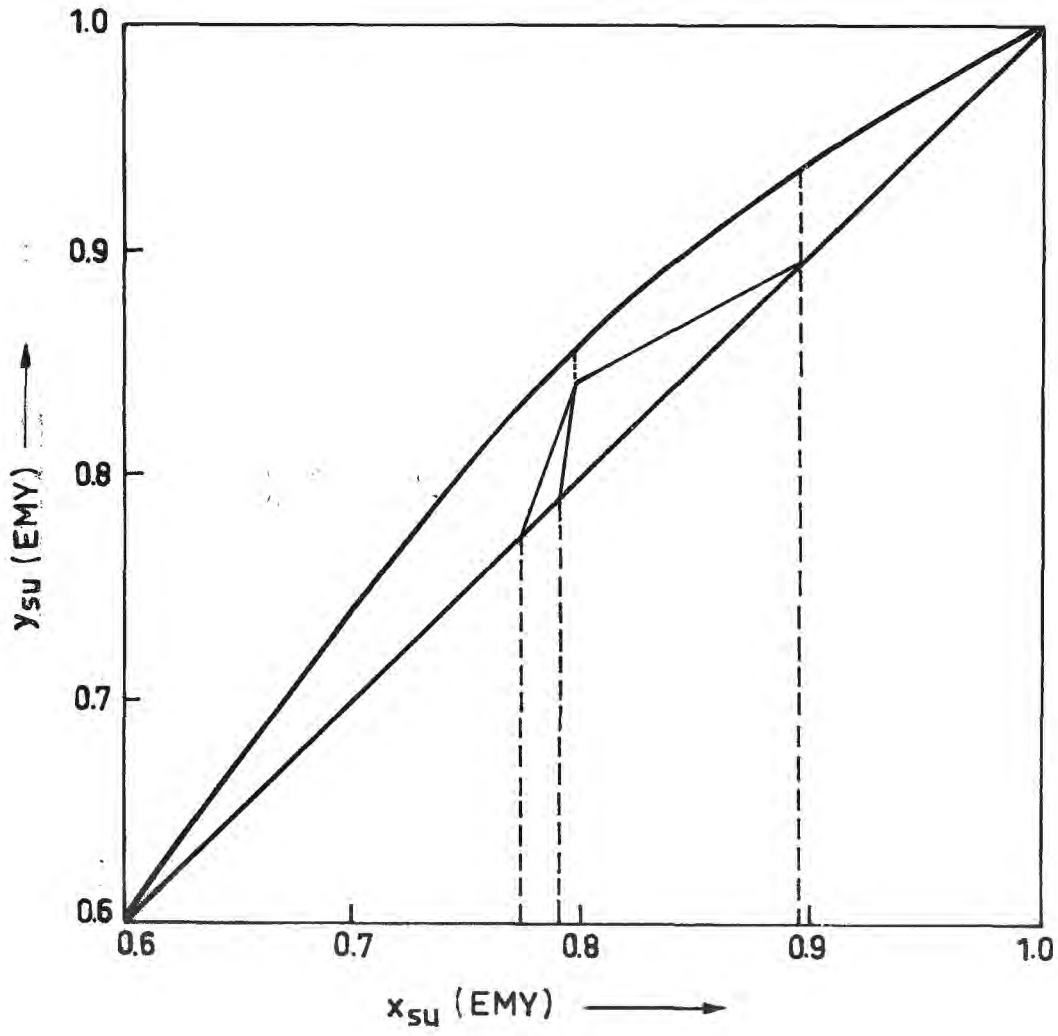
$$z = \frac{v}{K_y a S} \sum \frac{\Delta y}{y^* - y}$$

Grafiksel integrasyon eğrisi Şekil E1.2'de gösterilmiştir. İşlem sonunda;

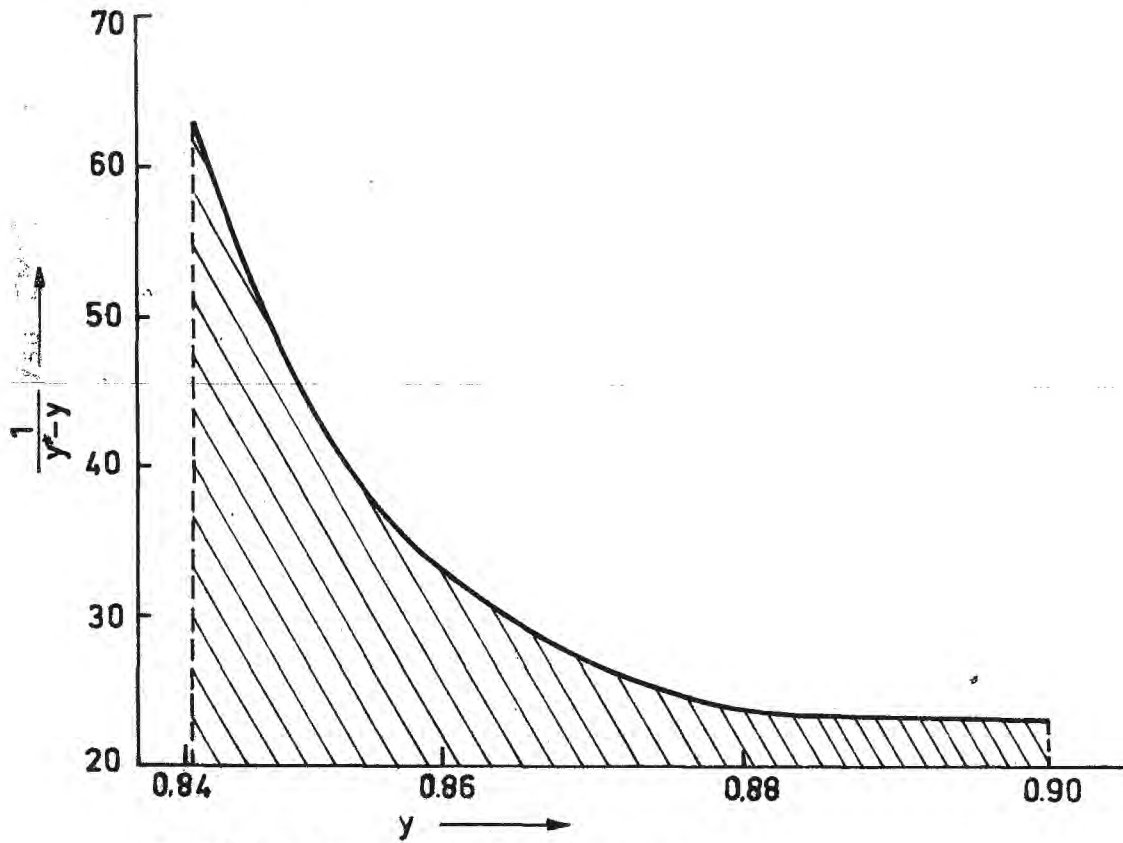
$$\int_{y_B^*}^{y_1} \frac{dy}{y^* - y} = 1,7487 \text{ bulunmuş ve}$$

$$K_y a S = \frac{6,262 \cdot 1,7487}{150} \text{ den,}$$

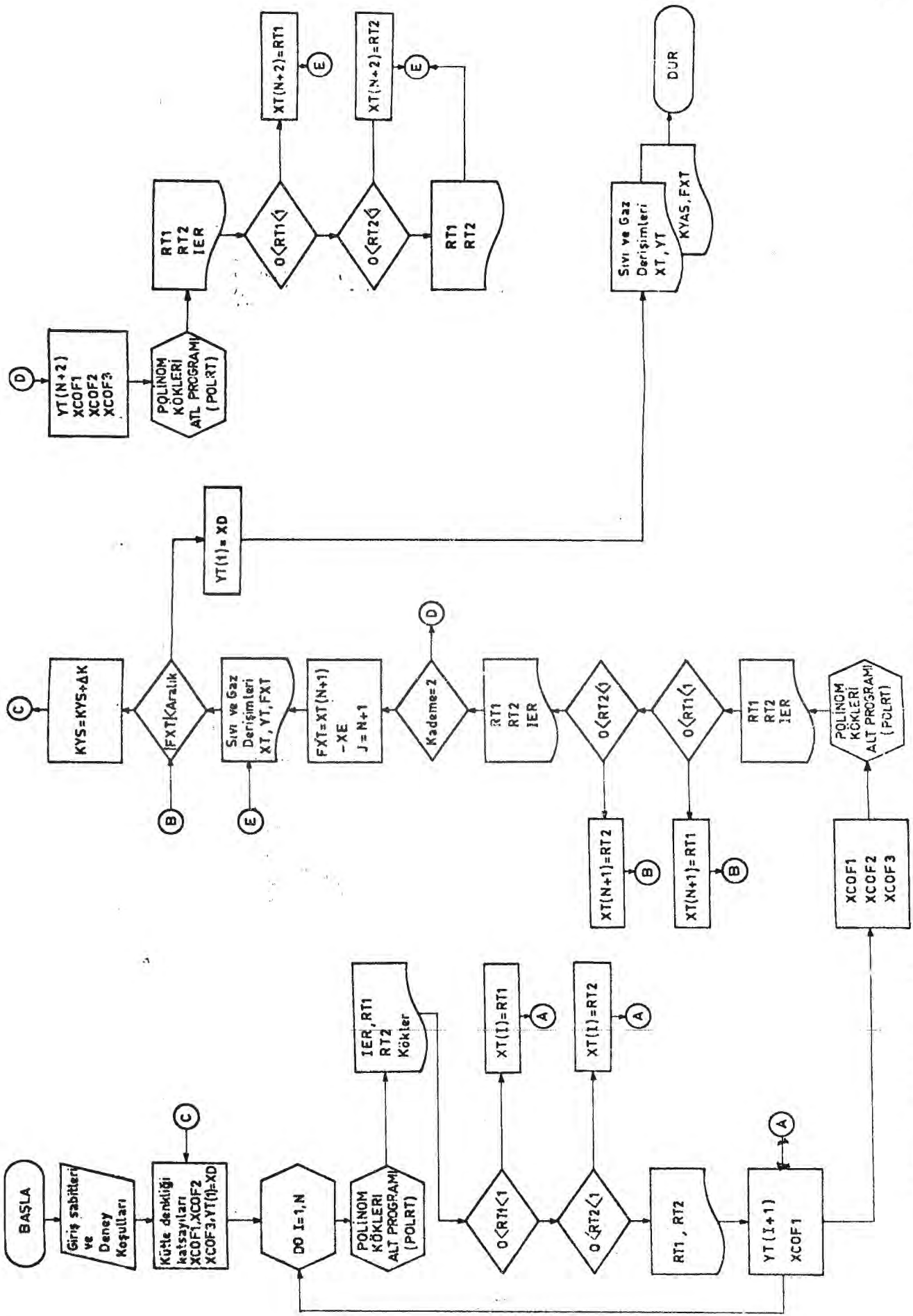
$$K_y a S = 0,07352 \left( \frac{\text{EMM}}{\text{cm}^2 \text{ dak}} \right) \text{ bulunmuştur.}$$



ŞEKİL E 2.1 işletme ve denge doğruları



ŞEKİL E 1.1 Grafiksel integrasyon



ŞEKİL E 1.2 Yatışkan-hal denklemlerinin sayısal bilgisayar çözümü akış diyagramı

## YATIŞKIN-HAL DENKLEMLERİNİN SAYISAL BİLGİSAYAR ÇÖZÜMÜ

## FORTRAN PROGRAMI

```

C      ***GAZI UNIVERSITESI***
C      CANAN BASKURT
C      DOLGULU DISTILASYON KOLONUNUN DINAMIGI
      REAL KYAS,L
      DIMENSION XCOF(3),COF(3),RT1(2),RT2(2),XT(200),YT(200)
      READ(5,15)KYAS,Y1(1),L,DZ,XD,XE,DK,V,ARALIK,KADEME,EGIM,YKES,N
15    FORMAT(FY.4,F5.3,F7.3,F5.3,F7.5,F7.3,F6.4,5X,I1,2F7.3,I2)
888   YT(1)=XD
      XCOF(1)=-1.*(KYAS*DZ*YT(1)+L*XD-(-0.980806)*KYAS*DZ)
      XCOF(2)=KYAS*DZ*3.5799+L
      XCOF(3)=KYAS*DZ*(-1.605484)
      DO66 I=1,N
      CALL POLRT(XCOF,COF,2,RT1,RT2,IER)
      WRITE(6,99)IER,RT1,RT2
      IF(RT1(1).GE.0.0.AND.RT1(1).LE.1.0)GO TO 10
      IF(RT1(2).GE.0.0.AND.RT1(2).LE.1.0)GO TO 20
      WRITE(6,4)RT1(1),RT1(2)
4     FORMAT(10X,2F16.8,/)
10    XT(1)=RT1(1)
      GO TO 8
20    XT(1)=RT1(2)
8     YT(I+1)=(V*YT(1)-KYAS*(-1.60548*XT(I)**2+3.5799*XT(I)-0.980806-
      *YT(1))*DZ)/V
      XCOF(1)=-1.*(KYAS*DZ*YT(I+1)+L*XT(I)-(-0.980806)*KYAS*DZ)
      YT(1)=YT(I+1)
66    CONTINUE
99    FORMAT(10X,4H1R,I4,10X,8HKOKIVEZ=,4F16.4,/)
      XCOF(1)=-0.980806-YT(N+1)
      XCOF(2)=3.5799
      XCOF(3)=-1.605484
      CALLPOLRT(XCOF,COF,2,RT1,RT2,IER)
      WRITE(6,98)IER,RT1,RT2
98    FORMAT(10X,4H1R,I4,10X,8HKOKIVEZ=,4F16.4,/)
      IF(RT1(1).GE.0.0.AND.RT1(1).LE.1.0)GO TO 11
      IF(RT1(2).GE.0.0.AND.RT1(2).LE.1.0)GO TO 21
      WRITE(6,4)RT1(1),RT1(2)
11    XT(N+1)=RT1(1)
      GO TO 88
21    XT(N+1)=RT1(2)
88    IF(KADEME.EQ.2)GO TO 1002
      FXT=XT(N+1)-XE
      J=N+1
1005  WRITE(6,19)(XT(I),YT(I),I=1,J),FXT
19    FORMAT(//,10X,10F11.4,/)
      IF(ABS(FXT).LE.ARALIK)GO TO 999
      KYAS=KYAS+DK
881   GO TO 888
1002  YT(N+2)=EGIM*XT(N+1)+YKES
      XCOF(1)=-0.980806-YT(N+2)
      XCOF(2)=3.5799
      XCOF(3)=-1.605484
      CALL POLRT(XCOF,COF,2,RT1,RT2,IER)
      WRITE(6,100)IER,RT1,RT2
100   FORMAT(10X,4H1R,I4,10X,8HKOKIVEZ=,4F16.4,/)
      IF(RT1(1).GE.0.0.AND.RT1(1).LE.1.0)GO TO 12
      IF(RT1(2).GE.0.0.AND.RT1(2).LE.1.0)GO TO 22
      WRITE(6,4)RT1(1),RT1(2)

```

```

12 XT(N+2)=RT1(1)
   GO TO 89
22 XT(N+2)=RT1(2)
89 FXI=XT(N+2)-XE
   J=N+2
   GO TO 1003
999 YI(1)=XD
   WRITE(6,50)
30 FORMAT(///,5X,78HSIVI VE GAZ FAZLARI DERISIMLERININ DOLGULU DESTIL
  XASYON KOLONU BOYUNCA DEGISIMI,/,5X,78H*****
  *****/)
   WRITE(6,51)
31 FORMAT(10X,40HSIVI FAZI KADEME CIKIS DERISIMLERI (EMY),/)
   WRITE(6,52) (XI(I),I=1,10)
32 FORMAT(5X,2HX1,7X,2HX2,1X,2HX3,7X,2HX4,1X,2HX5,7X,2HX6,1X,2HX7,7X
  *,2HX8,1X,2HX9,1X,3HX10,/,5X,10F9.4)
   WRITE(6,53) (XI(I),I=11,20)
33 FORMAT(5X,3HX11,6X,3HX12,6X,3HX13,6X,3HX14,6X,3HX15,6X,
  *,3HX16,6X,3HX17,6X,3HX18,6X,3HX19,6X,3HX20,/,5X,10F9.4)
   WRITE(6,54) XT(21)
34 FORMAT(20X,3HX21,F11.4)
   WRITE(6,55)
35 FORMAT(10X,39HGAZ FAZI KADEME CIKIS DERISIMLERI (EMY),/)
   WRITE(6,56) (YI(I),I=1,10)
36 FORMAT(5X,2HY1,7X,2HY2,1X,2HY3,7X,2HY4,7X,2HY5,7X,2HY6,1X,2HY7,7X,
  *,2HY8,1X,2HY9,7X,3HY10,/,5X,10F9.4)
   WRITE(6,57) (YI(I),I=11,20)
37 FORMAT(5X,3HY11,6X,3HX12,6X,3HY13,6X,3HY14,6X,3HY15,6X,3HY16,6X,3H
  *Y17,6X,3HY18,6X,3HY19,6X,3HY20,/,5X,10F9.4)
   WRITE(6,58) YI(21)
38 FORMAT(20X,3HY21,F11.4)
   WRITE(6,59) KYAS,FXI
39 FORMAT(10X,14HKYAS (EMY/DAK),25HFXT=X21(HESAP)-X21(DENEY),/,10X2F11
  *1.4)
   STOP
   END
   SUBROUTINEPOLRT(XCOF,CUF,M,RCOTR,RCOTI,IER)
   DIMENSIONXCOF(1),CUF(1),RCOTR(1),RCOTI(1)
   DOUBLEPRECISIONXU,YO,X,Y,XPR,YPR,UX,UY,V,YI,XT,U,XT2,YI2,SUMU,DX,
  +DY,TEMP,ALPHA
   IFIT=0
   N=M
   IER=0
   IF(XCOF(N+1))10,25,10
10 IF(N)15,15,32
15 IER=1
20 RETURN
25 IER=4
   GO TO 20
30 IER=2
   GO TO 20
32 IF(N-36)35,35,30
35 NX=N
   NXX=N+1
   N2=1
   KJ1=N+1
   DO4UL=1,KJ1
   MT=KJ1-L+1
40 CUF(MT)=XCOF(L)

```

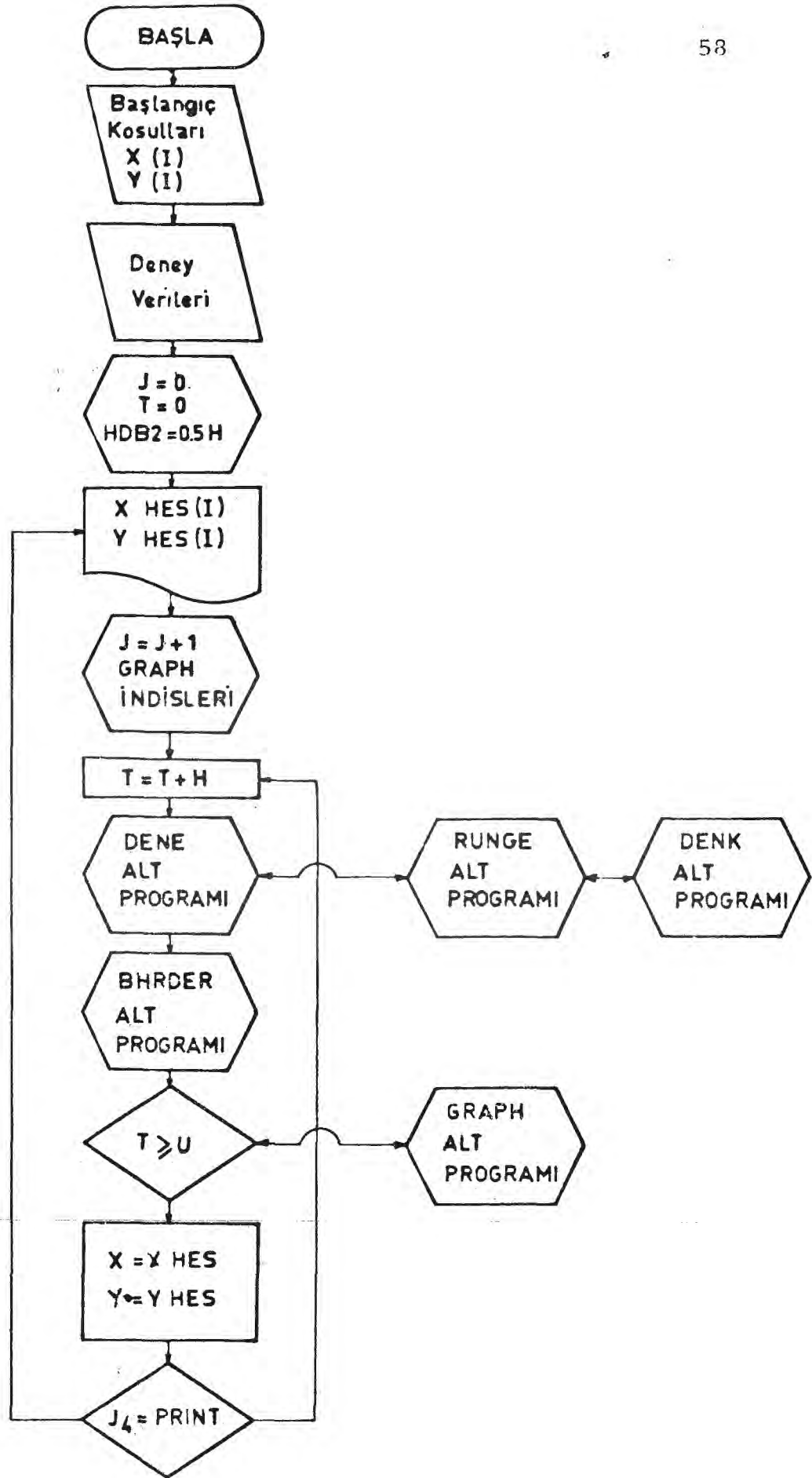
```

45  X0=.00500101
    Y0=0.01000101
    IN=0
50  X=X0
    X0=-10.0*Y0
    Y0=-10.0*X
    X=X0
    Y=Y0
    IN=IN+1
    GO TO 59
55  IF IT=1
    XPR=X
    YPR=Y
59  IUI=0
60  UX=0.0
    UY=0.0
    V=0.0
    YT=0.0
    XT=1.0
    U=COF(N+1)
    IF(U)65,75,65
65  DO(0)=1,N
    L=N-I+1
    TEMP=COF(L)
    XT2=X*XT-Y*YT
    YT2=X*YT+Y*XT
    U=U+TEMP*XT2
    V=V+TEMP*YT2
    FI=I
    UX=UX+FI*XT*TEMP
    UY=UY-FI*YT*TEMP
    XT=XT2
70  YT=YT2
    SUMQ=UX*UX+UY*UY
    IF(SUMQ)75,75,75
75  DX=(V*UY-U*UX)/SUMQ
    X=X+DX
    DY=-(U*UY+V*UX)/SUMQ
    Y=Y+DY
78  IF(DABS(DY)+DABS(DX)-1.00-0.5,100,80,80)
80  IUI=IUI+1
    IF(IUI-50)60,85,85
85  IF(IFIT)100,90,100
90  IF(IN-5)50,95,95
95  IER=3
    GO TO 20
100 DO(0)=1,NXX
    MT=KJ1-L+1
    TEMP=XCOF(MT)
    XCOF(MT)=COF(L)
105  COF(L)=TEMP
    ITEMP=N
    N=NX
    NX=ITEMP
    IF(IFIT)120,55,120
110  IF(IFIT)115,50,115
115  X=XPR
    Y=YPR
120  IF IT=0

```



```
122 IF(DABS(Y)-1.00-4*DABS(X))155,125,125
125 ALPHA=X+X
    SUMQ=X*X+Y*Y
    N=N-2
    GO TO 140
130 X=0.0
    NX=NX-1
    NXX=NXX-1
135 Y=0.0
    SUMQ=0.0
    ALPHA=X
    N=N-1
140 COF(2)=COF(2)+ALPHA*COF(1)
145 N3=N
    IF(N3-2)5,146,146
5    N3=2
146 DOT5UL=2,N3
150 COF(L+1)=COF(L+1)+ALPHA*COF(L)-SUMQ*COF(L-1)
155 RCUTI(N2)=Y
    RCUTR(N2)=X
    N2=N2+1
    IF(SUMQ)160,165,160
160 Y=-Y
    SUMQ=0.0
    GO TO 135
165 IF(N)20,20,45
    END
```



ŞEKİL E1.3 : Yatışkın olmayan-hal denklemlerinin sayısal bilgisayar çözümü akış diagramı

## YATIŞKIN OLMAYAN-HAL DENKLEMLERİNİN SAYISAL BİLGİSAYAR

## ÇÖZÜMÜ FORTRAN PROGRAMI

```

REAL KYAS,L
INTEGER HL3,PRINT
DIMENSION X(100),Y(100),XHES(100),YHES(100),XA(100),XB(100),
*C1(100),C2(100),C3(100),C4(100),TUR(100),TP(300),TP2(300),
*XP(300),XP2(300),ORD(3),APS(3),TITLE(20),Z(300)
COMMON V,L,HL1,HL2,HL3,F,XF,KYAS,DZ,HDB2,B,HATAL,D
WRITE(6,100)

100 FORMAT(1H1,///,T10,' BESLEME DER$@M$NDEK$ NEGAT$F KADEME DEJ$@M$
1ININ KOLON D$NAM$J$NE ETK$SS$',/,T10,80('-'),////)
WRITE(6,105)
105 FORMAT(1H1)
READ(5,5) N

5 FORMAT(I3)
READ(5,6)(X(I),I=1,N)
READ(5,6)(Y(I),I=1,N)
READ(5,7)KYAS,V,L,F,XF,H,DZ,HL1,HL2,HL3,HATAL,U,M,N
READ(5,8)B,D
10 READ(5,10) ORD,APS,TITLE
FORMAT(2(3A4/),20A4)
WRITE(6,104) H
104 FORMAT(T10,' H = ',E12.6)
J=0
T=0
HDB2=0.5*H
68 WRITE(6,101)T
101 FORMAT(T10,' T = ',E12.6,' DAKIKADA SIVI VE GAZ FAZLARINDAKI KADEMEL
1ERIN CIKIS DERISIMLERI(EMY)',/,T25,80('-'),//)
WRITE(6,102)
102 FORMAT(1X,' **** SIVI FAZI ****',//)
WRITE(6,16)(XHES(I),I=1,N)
WRITE(6,103)
103 FORMAT(1X,' **** GAZ FAZI ****',//)
WRITE(6,16)(YHES(I),I=2,N)
16 FORMAT(//,10G12.4)
J4=1
PRINT=10
J=J+1
TP(J)=T
TP2(J)=T
Z(J)=PLUS
XP(J)=X(1)
XP2(J)=X(22)
63 T=T+H
IF(J.GE.1) GO TO 24
GO TO 78
24 V=6.262
L=3.13
F=12.54
B=9.612
D=3.131
XF=0.793
78 CALL DENE(T,X,H,N,K,XHES,XA,XB,TUR,C1,C2,C3,C4,Y,M)
CALL BHRDER(N,XHES,YHES,X,Y)
IF(T.GE.U) GO TO 88
DO 66 I=1,N
66 X(I)=XHES(I)
DO 67 I=2,N
67 Y(I)=YHES(I)
IF(J4.EQ.PRINT) GO TO 68
J4=J4+1
GO TO 63
88 STOP
DATA PLUS/'+'/
6 FORMAT(8F10.4)
7 FORMAT(F6.4,3F6.3,2F5.3,F3.1,2F7.4,I7,F6.4,F4.1,2I3)
8 FORMAT(2F7.4)
END

```

```

SUBROUTINE DEFCT(X,H,N,K,XHES,XA,XB,TUR,C1,C2,C3,C4,Y,M)
DIMENSION X(N),XA(N),XB(N),XHES(N),TUR(N),C1(N),C2(N),C3(N),C4(N),
*Y(N)
REAL KYAS,I
INTEGER HL3
COMMON VAL,HL1,HL2,HL3,F,XF,KYAS,D7,HDH2,B,HATAL,D
K=0
DO 10 I=1,N
XA(I)=Y(I)
10 XB(I)=X(I)
CALL RUNGE(1,XA,N,H,TUR,C1,C2,C3,C4,Y,M)
CALL RUNGE(1,XB,N,HDH2,TUR,C1,C2,C3,C4,Y,M)
DO 15 I=2,N
HATA=(XA(I)-XB(I))/1.0
15 XHES(I)=XF(I)+HATA
RETURN
END

```

```

SUBROUTINE RUNGE(1,X,N,H,TUR,C1,C2,C3,C4,Y,M)
DIMENSION X(N),TUR(N),C1(N),C2(N),C3(N),C4(N),Y(N),XA(100)
REAL KYAS,I
INTEGER HL3
COMMON VAL,HL1,HL2,HL3,F,XF,KYAS,D7,HDH2,B,HATAL,D
CALL DLN(N,M,X,Y,TUR)
DO 10 I=2,N
XA(I)=X(I)
10 C1(I)=H*TUR(I)
DO 15 J=2,N
15 X(J)=XA(J)+C1(J)/2.0
CALL DEFK(N,M,X,Y,TUR)
DO 20 I=2,N
20 C2(I)=H*TUR(I)
DO 25 J=2,N
25 X(J)=XA(J)+C2(J)/2.0
CALL DEFK(N,M,X,Y,TUR)
DO 30 I=2,N
30 C3(I)=H*TUR(I)
DO 35 J=2,N
35 X(J)=XA(J)+C3(J)
CALL DEFK(N,M,X,Y,TUR)
DO 40 I=2,N
40 C4(I)=H*TUR(I)
DO 45 I=2,N
45 X(I)=XA(I)+(C1(I)+2.0*(C2(I)+C3(I))+C4(I))/6.0
RETURN
END

```

```

SUBROUTINE DEFK(N,M,X,Y,TOR)
DIMENSION X(N),Y(N),TOR(N)
REAL KYAS,D
INTEGER HL3
COMMON V,L,HL1,HL2,HL3,F,XF,KYAS,DZ,HDB2,B,HATAI,D
DO 60 I=2,N
XP=(-1.603484*X(I)**2+3.579*X(I)-0.98086)
IF(1.LT.M) GO TO 62
TOR(I)=(H*(Y(I)-X(I))-L*(Y(I)-X(I-1))+F*(XF-Y(I)))/HL3
GO TO 60
62 TOR(I)=(L*X(I-1)-L*X(I)-KYAS*DZ*(XF-Y(I)))/HL2
63 CONTINUE
RETURN
END

```

```

SUBROUTINE THORDER(N,XHES,YHES,X,Y)
DIMENSION X(N),Y(N),XHES(N),YHES(N)
REAL KYAS,D
INTEGER HL3
COMMON V,L,HL1,HL2,HL3,F,XF,KYAS,DZ,HDB2,B,HATAI,D
NN=N-1
DO 68 I=1,NN
IF(1.NF.1) GO TO 61
YHES(N+1-I)=-1.603484*YHES(N+1-I)**2+3.579*XHES(N+1-I)-0.980866
GO TO 60
61 YP=-1.603484*XHES(N+1-I)**2+3.579*XHES(N+1-I)-0.980866
YHES(N+1-I)=(V*YHES(N+2-I)+KYAS*DZ*YP)/(V+KYAS*DZ)
68 CONTINUE
XHES(1)=YHES(2)
RETURN
END

```

## DOĞRUSAL YAKLAŞIM YÖNTEMİNİN SAYISAL BİLGİSAYAR ÇÖZÜMÜ

## FORTRAN PROGRAMI

```

DIMENSION QIN(200),TIN(200),XOUT(200),TOUT(200)
COMPLEX GNUM,GDENOM,G1,G2,G3,G4,G5,G
READ(5,1)NIN,NOUT,WO,WMAX,WNUM

1  FORMAT(2I5,3F6.2)
   IF(NIN.EQ.0) GO TO 22
   READ(5,13) (TIN(I),I=1,3)
13  FORMAT(3F5.3)
   READ(5,12) (QIN(I),I=1,3)
12  FORMAT(3F5.4)
   WRITE(6,3)NIN,NOUT,WO,WMAX,WNUM

3  FORMAT(4X,37HNIN      NOUT      WO      WMAX      WNUM,/,2X,2(I5,3X),3
$ (F6.2,3X))
   WRITE(6,10)
10  FORMAT(4X,3HTIN,10X,3HQIN)
   WRITE(6,17) TIN(1),QIN(1)
17  FORMAT(2(4X,F9.6))
   READ(5,2) (TOUT(K),K=1,24)
2  FORMAT(20F4.3,/,4F5.3)
   READ(5,16) (XOUT(K),K=1,24)
16  FORMAT(10F8.7)
   WRITE(6,11)
11  FORMAT(5X,4HTOUT,9X,4HXOUT)
   WRITE(6,15) ((TOUT(K),XOUT(K)),K=1,24)
15  FORMAT(2(4X,F9.6))
   DW=10.**(1./WNUM)
   W=0.
100 IF(W.GT.10.000)W=10.0
   IF(NIN.GT.13) GO TO 30
C   DIKDORTGEN PULSE GIRISI ICIN HESAPLAMA
   IF(W.EQ.0) GO TO 25
   G1=CMPLX(0.,W)
   G2=CMPLX(0.,-W*TIN(1))
   GDENOM=QIN(1)*(1.-CEXP(G2))/G1
   GO TO 50
C   SIFIR SIKLIGI ICIN
25  GDENOM=CMPLX(QIN(1)*TIN(1),0.)
   GO TO 50
C   RASTGELE PULSE GIRISI ICIN HESAPLAMA
30  IF(W.EQ.0.) GO TO 40
   G1=CMPLX(0.,W)
   G2=CMPLX(0.,-W*TIN(1))
   GDENOM=QIN(1)*((CEXP(G2)-1.)/(TIN(1)*W**2)-CEXP(G2)/G1)
   DO 35 N=2,NIN
   DELTA=TIN(N)-TIN(N-1)
   G2=CMPLX(0.,-W*DELTA)
   G3=CMPLX(0.,-W*TIN(N-1))
   G4=CEXP(G2)
   G5=(G4-1.)/(DELTA*W**2)
   GDENOM=GDENOM+CEXP(G3)*(QIN(N)*(G5-G4/G1)-QIN(N-1)*(G5-1/G1))
35  CONTINUE
   GO TO 50
40  AREA=QIN(1)*TIN(1)/2.
   DO 41 N=2,NIN
   DELTA=TIN(N)-TIN(N-1)
41  AREA=AREA+(QIN(N)+QIN(N-1))*DELTA/2.
   GDENOM=CMPLX(AREA,0.)
C   RASTGELE CIKIS DEDGISKENI ICIN HESAPLAMA
50  IF(W.EQ.0.) GO TO 60
   G2=CMPLX(0.,-W*TOUT(1))
   GNUM=XOUT(1)*((CEXP(G2)-1.)/(TOUT(1)*W**2)-CEXP(G2)/G1)
   DO 55 N=2,NOUT
   DELTA=TOUT(N)-TOUT(N-1)
   G2=CMPLX(0.,-W*DELTA)
   G3=CMPLX(0.,-W*TOUT(N-1))
   G4=CEXP(G2)
   G5=(G4-1.)/(DELTA*W**2)
   GNUM=GNUM+CEXP(G3)*(XOUT(N)*(G5-G4/G1)-XOUT(N-1)*(G5-1./G1))
55  CONTINUE
   GO TO 70
60  AREA=XOUT(1)*TOUT(1)/2.
   DO 61 N=2,NOUT
   DELTA=TOUT(N)-TOUT(N-1)
61  AREA=AREA+(XOUT(N)+XOUT(N-1))*DELTA/2.
   GNUM=CMPLX(AREA,0.)
C   İLETİM FONKSİYONUNU HESAPLAMA
70  G=GNUM/GDENOM
   IF(W.EQ.0.) GO TO 90

```

```

DP=20.*ALOG10(CABS(G)/ABS(GAIN))
DEG=ATAN(AIMAG(G)/REAL(G))*180./3.1416
IF((REAL(G)/GAIN).LT.0) DEG=DEG-180.
AI=AIMAG(G)
RE=REAL(G)
75 WRITE(6,75)W,RE,AI,DP,DEG
   FORMAT(2X,F10.3,2F10.5,2F10.2)
   IF(W.EQ.10.) GO TO 22
   W=W*DW
   GO TO 100
90 GAIN=REAL(G)
   WRITE(6,91) GAIN
91 FORMAT(1H1,17HSTEADYSTATE GAIN=,F10.3)
   WRITE(6,92)
92 FORMAT(1X,9HFREQUENCY,4X,4HREAL,4X,9HIMAGINARY,2X,3HLOG,1X,7HMODUL
*US,3X,5HANGLE)
   WRITE(6,93)
93 FORMAT(1X,14H(RADIANS/TIME),25X,4H(DB),5X,9H(DEGREES))
   W=WO
   GO TO 100
22 STOP
   END

```

## TRAPEZOIDAL YAKLAŞIM YÖNTEMİNİN SAYISAL BİLGİSAYAR ÇÖZÜMÜ

## FORTRAN PROGRAMI

```

DIMENSION TIN(200),TOUT(200),X(200),Y(200)
COMPLEX G,G1,G2,G11,G12,FJW,FJ,SUM,SU,PO,PN,GD,GN
INTEGER RI,RL
C READ INPUT AND OUTPUT DATA
READ(5,1)NIN,NOUT,WO,WMAX,WNUM

1  FORMAT(2I5,3F6.2)
   IF(NIN.EQ.0) GO TO 22
   READ(5,13) (X(I),I=1,3)
13  FORMAT(3F5.4)
   READ(5,14) (Y(K),K=1,7)
14  FORMAT(7F8.7)
   DLT1=0.5
   DLT2=0.5
   N1=1
   N2=3
   DLT3=0.5
   DLT4=0.5
   N3=1
   N4=7
   RI=1.
   RL=1.
   DW=10.**(.1/WNUM)
   W=0.
   WRITE(6,3) NIN,NOUT,WO,WMAX,WNUM

3   FORMAT(4X,37HNIN      NOUT      WO      WMAX      WNUM,/,2X,2(I5,3X),3
* (F6.2,3X))
   TIN(1)=0.
   DO 6 N=2,N2
6   TIN(N)=TIN(N-1)+0.5
   WRITE(6,10)
10  FORMAT(4X,3HTIN,10X,3HQIN)
   WRITE(6,17) TIN(3),X(3)
17  FORMAT(2(4X,F9.6))
   TOUT(1)=0.
   DO 5 N=2,NOUT
5   TOUT(N)=TOUT(N-1)+0.5
   WRITE(6,11)
11  FORMAT(5X,4HTOUT,9X,4HXOUT)
   WRITE(6,15) ((TOUT(K),Y(K)),K=1,7)
15  FORMAT(2(4X,F9.6))
100 IF(W.GT.10.000) W=10.0
   GD=CMPLX(0.,0.)
   SUM=CMPLX(0.,0.)
   IF(W.EQ.0) GO TO 50
C   INTEGRAL ADIM ARALIGI GIRIS PULSE ICIN SABITTIR
   IF(DLT1.EQ.DLT2) GO TO 12
C   J=1
C   INTEGRAL ADIM ARALIGININ DEGISIMI
18  GO TO (19,12),J
19  MI=1
   MF=N1
   DLT=DLT1
   GO TO 76
12  J=2
   MI=N1
   MF=N2
   DLT=DLT2
C   FOURIER DONUSUMUNU HESAPLA
76  LRI=RI
   DO 30 I=MI,MF,RI
   G1=CMPLX(0.,-W*(I-1)*0.5)
   G2=CEXP(G1)
   IF(I.EQ.MI.OR.I.EQ.MF) GO TO 24
   FJW=X(I)*G2
   GO TO 26
24  FJW=0.5*X(I)*G2
26  SUM=SUM+FJW*DLT
30  CONTINUE
   GO TO (41,42),J
41  GD=GD+SUM
   SUM=CMPLX(0.,0.)
   J=2
   GO TO 18
42  GD=GD+SUM
   IF(W.GE.0.1) GO TO 83
C   SIFIR SIKLIGI ICIN

```



```

50 AREA=0.
   IF(DLT1.EQ.DLT2) GO TO 62
   J=1
60 GO TO (61,62),J
61 MI=1
   MF=N1
   DLT=DLT1
   GO TO 65
62 J=2
   MI=N1
   MF=N2
   DLT=DLT2
65 LRI=RI
   DO 78 I=MI,MF,RI
   IF(I.EQ.MI.OR.I.EQ.MF) GO TO 79
   AREA=AREA+X(I)*DLT
   GO TO 78
79 AREA=AREA+0.5*X(I)*DLT
78 CONTINUE
   GO TO (81,82),J
81 GD=GD+CMPLX(AREA,0.)
   AREA=0.
   J=2
   GO TO 60
82 GD=GD+CMPLX(AREA,0.)
83 GN=CMPLX(0.,0.)
   SU=CMPLX(0.,0.)
   IF(W.EQ.0) GO TO 111
C   INTEGRAL ADIM ARALIGI GIRIS PULSE ICIN SABITTIR
   IF(DLT3.EQ.DLT4) GO TO 105
   L=1
C   INTEGRAL ADIM ARALIGININ DEGISIMI
102 GO TO (103,105),L
103 MN=1
   MS=N3
   DLTS=DLT3
   GO TO 104
105 L=2
   MN=N3
   MS=N4
   DLTS=DLT4
C   FOURIER DONUSUMUNU HESAPLA
104 LRL=RL
   G3=W*DLTS
   G4=G3/2.
   G5=COS(G3)
   G6=SIN(G3)
   G7=SIN(G4)
   G8=(1.-G5)/G3**2
   G9=(G3-G6)/G3**2
   P0=CMPLX(G8,-G9)
   PN=CMPLX(G8,G9)
   DO 40 K=MN,MS,RL
   G11=CMPLX(0.,-W*(K-1)*0.5)
   G12=CEXP(G11)
   IF(K.EQ.MN) GO TO 106
   IF(K.EQ.MS) GO TO 107
   FJ=Y(K)*G12*(G7/G4)**2
106 GO TO 108
   FJ=Y(K)*G12*P0
   GO TO 108
107 FJ=Y(K)*G12*PN
108 SU=SU+FJ*DLTS
   40 CONTINUE
   GO TO (109,110),L
109 GN=GN+SU
   SU=CMPLX(0.,0.)
   L=2
   GO TO 102
110 GN=GN+SU
   IF(W.GE.0.1) GO TO 86
C   SIFIR SIKLIGI ICIN
111 AR=0.
   IF(DLT3.EQ.DLT4) GO TO 112
   L=1
113 GO TO (114,112),L
114 MN=1
   MS=N3
   DLTS=DLT3
   GO TO 115
112 L=2
   MN=N3
   MS=N4
   DLTS=DLT4

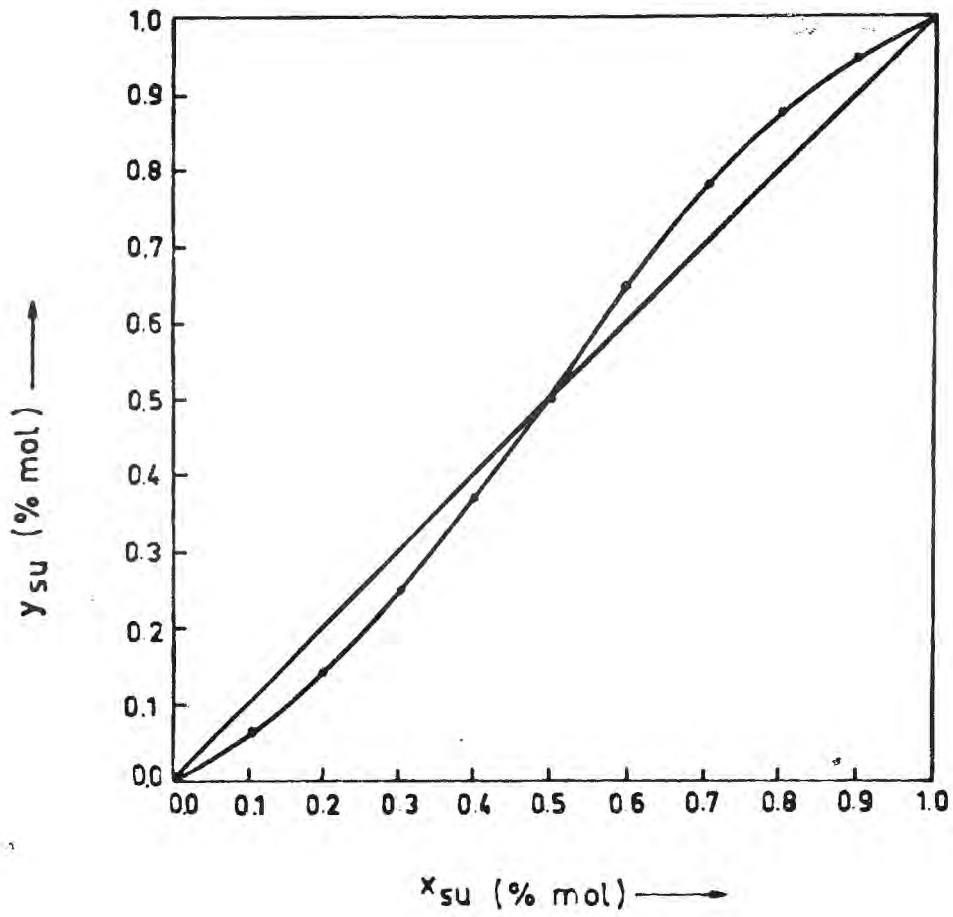
```

```

115  LRL=RL
      DO116 K=MN,MS,RL
      IF(K.EQ.MN.OR.K.EQ.MS) GO TO 117
      AR=AR+Y(K)*DLTS
      GO TO 116
117  AR=AR+0.5*Y(K)*DLTS
116  CONTINUE
      GO TO (118,119),L
118  GN=GN+CMPLX(AR,0.)
      AR=0.
      L=2
      GO TO 113
119  GN=GN+CMPLX(AR,0.)
86   G=GN/GD
      IF(W.EQ.0.) GO TO 90
      DB=20.*ALOG10(CABS(G)/ABS(GAIN))
      DEG=ATAN(AIMAG(G)/REAL(G))*180./3.1416
      IF((REAL(G)/GAIN).LT.0) DEG=DEG-180.
      AI=AIMAG(G)
      RE=REAL(G)
75   WRITE(6,75) W,RE,AI,DB,DEG
      FORMAT(2X,F10.3,2F10.5,2F10.2)
      IF(W.EQ.10.) GO TO 22
      W=W*DW
      GO TO 100
90   GAIN=REAL(G)
      WRITE(6,91) GAIN
91   FORMAT(1H1,17HSTEADYSTATE GAIN=,F10.3)
      WRITE(6,92)
92   FORMAT(1X,9HFREQUENCY,4X,4HREAL,4X,9HIMAGINARY,2X,3HLOG,1X,7HMODUL
*US,3X,5HANGLE)
      WRITE(6,93)
93   FORMAT(1X,14H(RADIANS/TIME),25X,4H(DB),5X,9H(DEGREES))
      W=W0
      GO TO 100
22   STOP
      END

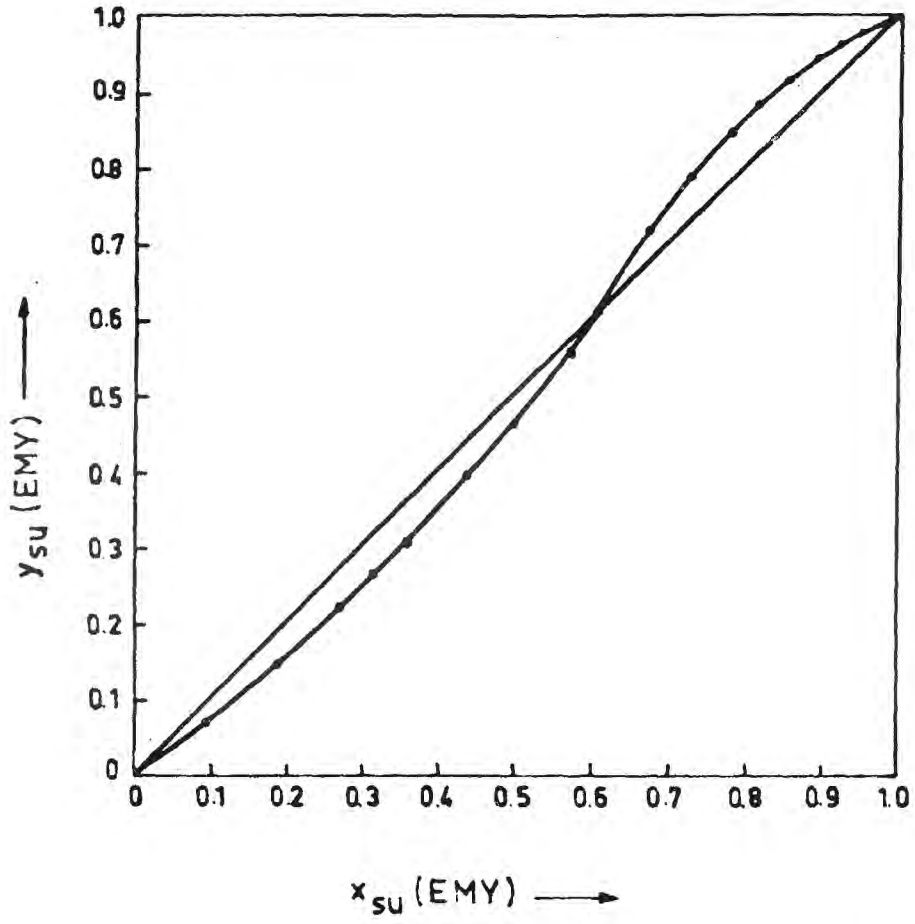
```

EK 4  
DENGE VE REFERANS EĞRİLERİ



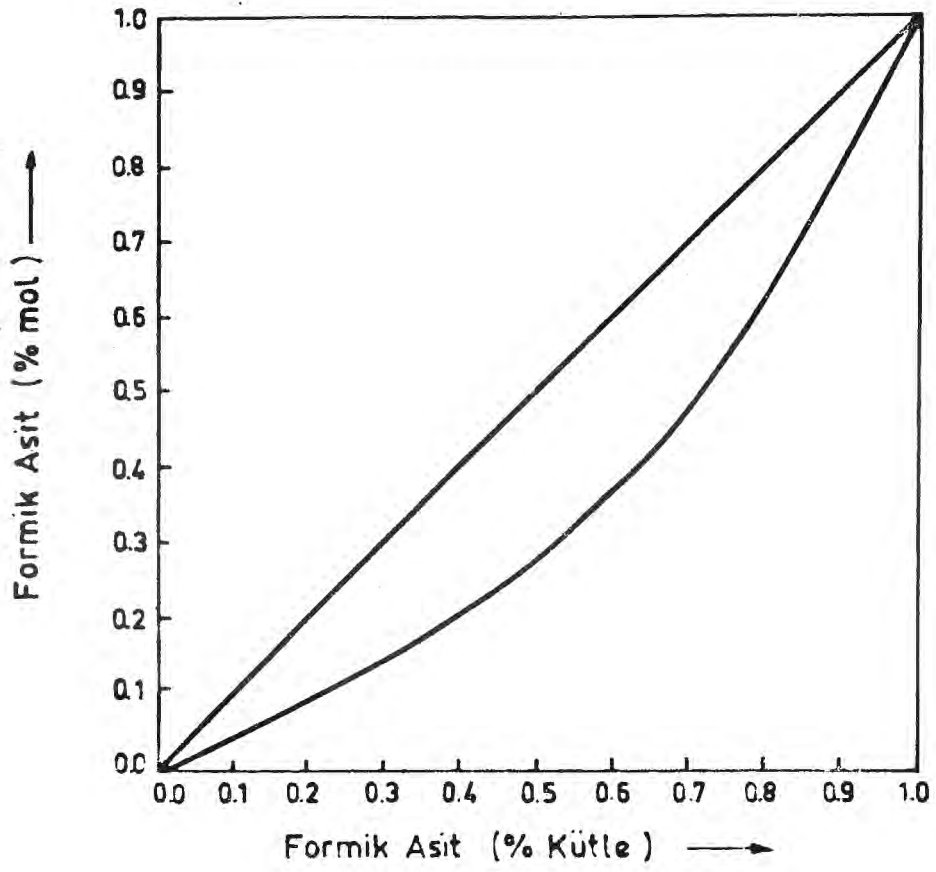
ŞEKİL E4.1

Su-Formik asit sisteminin (% mol)  
olarak su cinsinden denge eğrisi



ŞEKİL E4.2

Su-Formik asit sisteminin EMY olarak su cinsinden denge eğrisi



ŞEKİL E4.3 Formik asidin (% Kütleye)'den (% mole) çevirimi.

## REFERANSLAR

1. ALPBAZ, M.  
Ankara Üniversitesi Yayınları (1984).
2. HEINKE, G.E.  
Ph.D.Thesis, Washington University, USA (1961).
3. TOMMASI, G and RICE, P  
Ing.Eng.Chem.Process. Des.Dev.Vol. 9, 224 (1970).
4. LUYBEN, W.L.  
Process, Modelling Simulation and Control for Chemical Engineers, Mc-Graw Hill. Comp, Kogokusha (1973).
5. WATANABE, N., MATSUBARA, M.  
Jorn of Chem.Eng. of Japan, 14, 78 (1981).
6. STEINER, L. BARENDREGHT, H.P. and HARILAND, S.  
Chem. Eng.Sci. Vol. 33, 225 (1977).
7. DREIFKE, G.E.  
Ph.D. Thesis, Washington University, USA (1961).
8. HOUGEN, J.D., WALSH, A.A.  
Chem.Eng. Progress 67, 69 (1961).
9. MESSA, C.J., LUYBEN, W.L. POEHLIN, G.W.  
Ind. Eng. Chem. Fund, 8, 745 (1969).
10. HIÇŞAŞMAZ, Z.  
M.Sc. Ortadoğu Teknik Üniversitesi (1982).

11. ÜNAL, N.

M.Sc. Anadolu Üniversitesi (1984).

12. International Critical Tables

Mc-Graw Hill. Comp (1926).